

决赛中的结构化学

- 过去几年的决赛结构化学:
- 晶体结构——预计1个大题
- 无机化学与分子结构——预计 2-3 个大题
- 但情况发生了变化—— 2024 年大纲更新,去年决赛的晶体结构难度也 陡然提升
- 该如何应对这种变化?



决赛中的结构化学

- 竞赛题量明显增加:按照裴老师的说法——本次决赛时长 4.5 h,但很可能题量是按照 5 h 甚至 6 h 准备的
- 意味着大多数学生并不能对每个题目都进行足够的思考

- 如何对试题进行取舍,是要获得『超常发挥』关键
- 例如去年的决赛试卷二的晶体结构试题,并不值得在考场上深究

- 因此与别人拉开差距的关键:简单的题保证 100% 得分率,较困难的 题根据自己的擅长方向多拿分,极困难的题先跳过
- 花了时间与精力,算出结果的题目不要错,在这些题上失分最可惜

■ 除了两中心两电子共价键(单键),两中心四电子共价键(双键)外:

电子数中心数	1	2	3	4
1	自由基	孤对电子	-	-
2	单电子键 ArC…CAr H ₂ +	共价单键	自由基阴离子 S _{RN} 1取代	共价双键
3	3c-1e键 Ga ₃ 团簇	3c-2e 硼烷,CH ₅ +	-	3c-4e 超价化合物
4	-	4c-2e S ₂ I ₄ ²⁺ ,金刚烷阳离子	-	4c-4e 团簇,离域键



■ C-C 单(电子)键:

■ 379 cm⁻¹ 的 C-C 对称振动拉曼峰



■ H₂⁺: 最简单的单电子键,也是唯一能精确求解薛定谔方程的化学键系统,可通过 H₂ 吸收光子后失去电子获得:

$$H_2 \to H_2^+ + e^-$$

光电子能谱是用高频率的光照射分子,将分子中的电子打出,射出的电子称为光电子

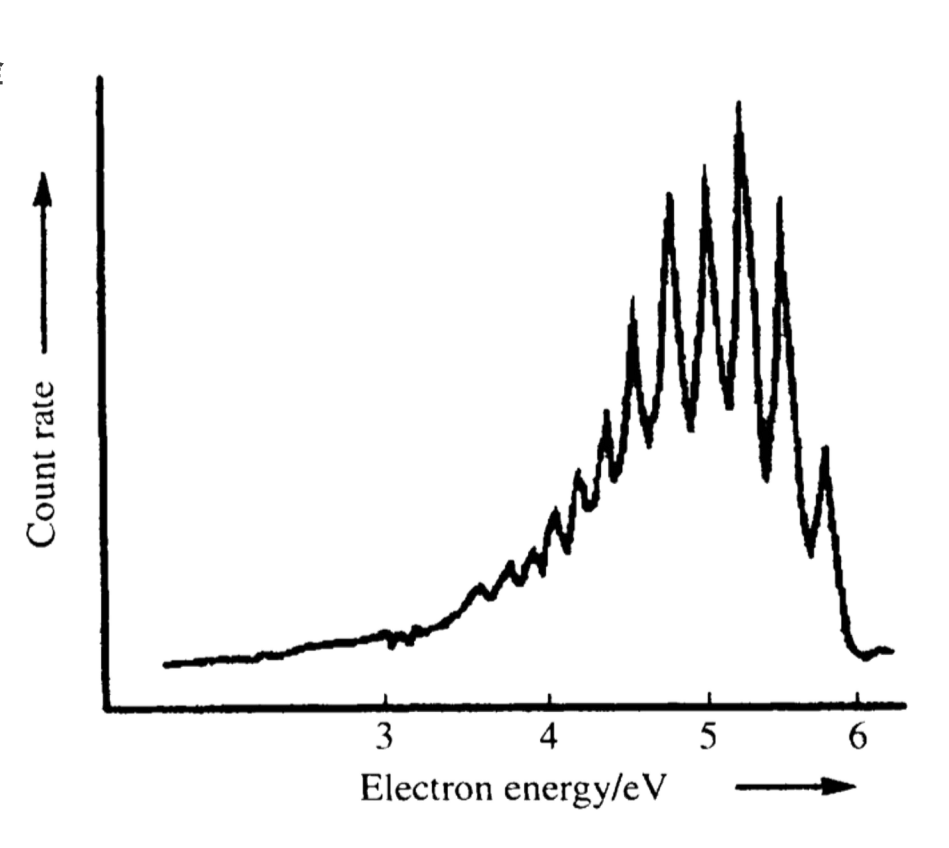


- 下图是 H₂ 的光电子能谱,使用的光子能量为 21.22 eV
- 可以得出,H₂ 的电离能为:

$$21.22 - 5.8 = 15.42 \text{ eV}$$

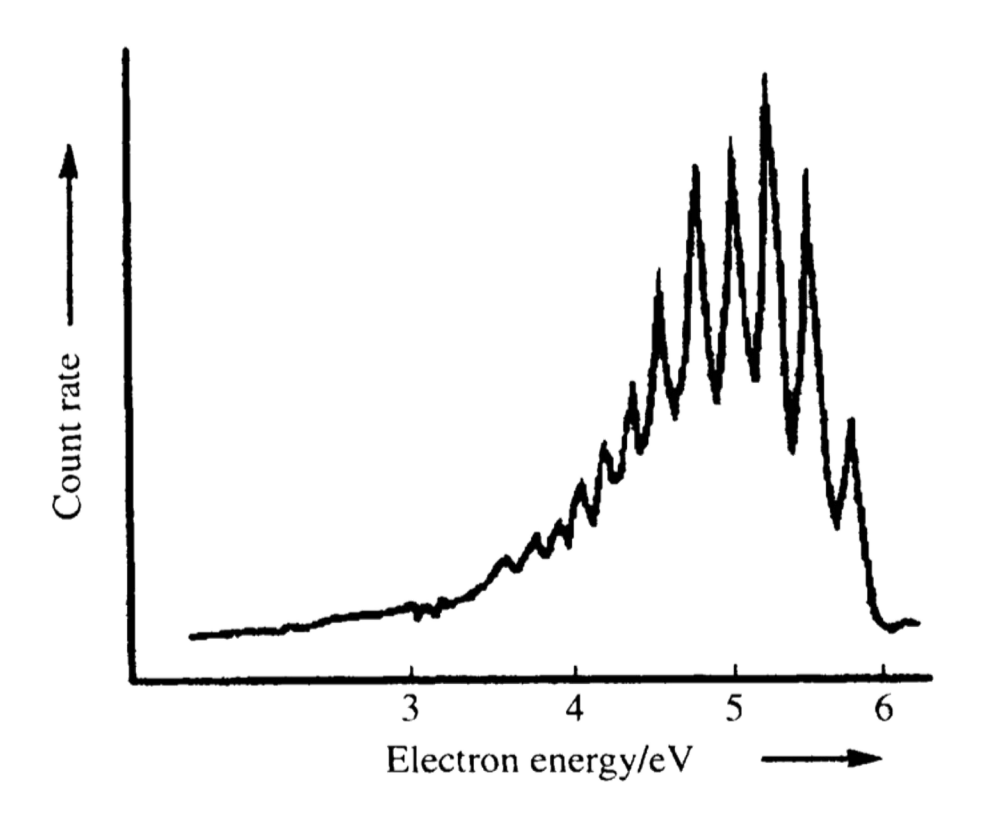
- 图中的光电子能谱有 12 个峰
- 是怎么产生的?

■ 是 H₂+ 的振动导致的



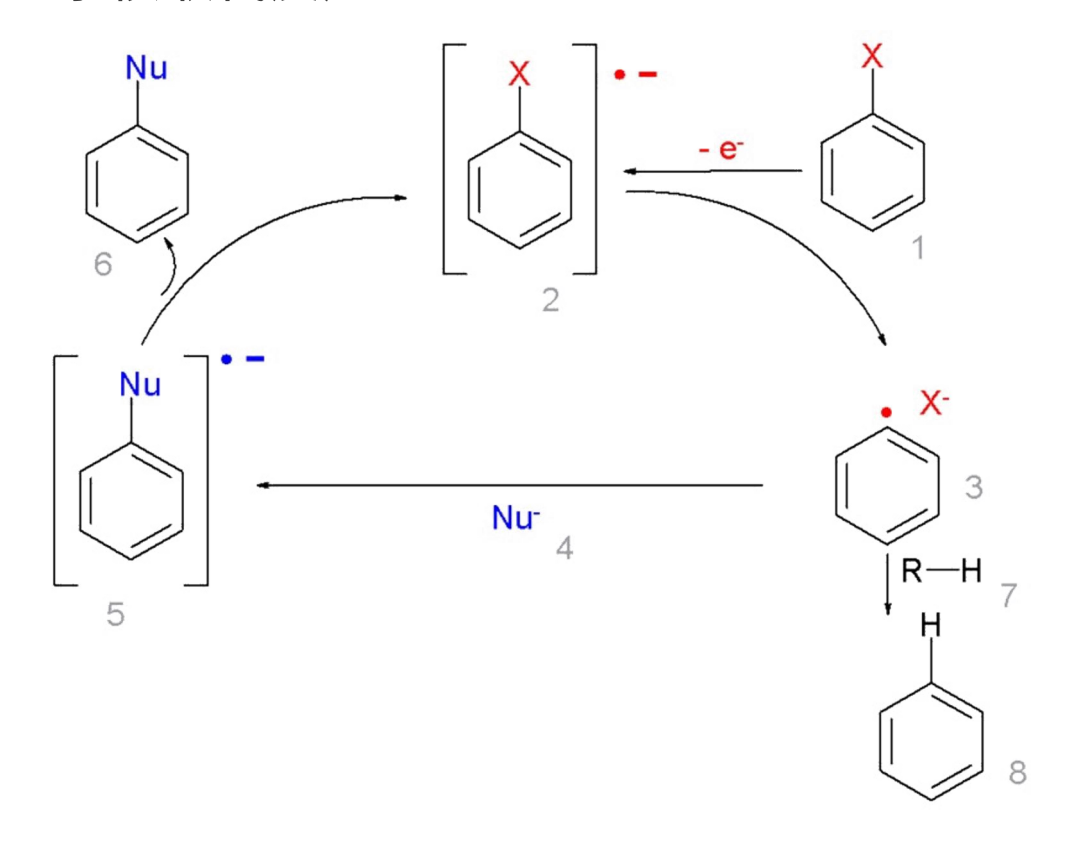


- 峰的差值是 H₂⁺ 的振动能级差,约为 0.3 eV (29 kJ mol⁻¹)
- 而 H₂ 的振动能级差为 49.8 kJ mol⁻¹,这表明 H₂⁺ 的键更弱

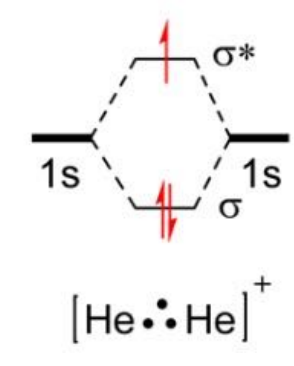




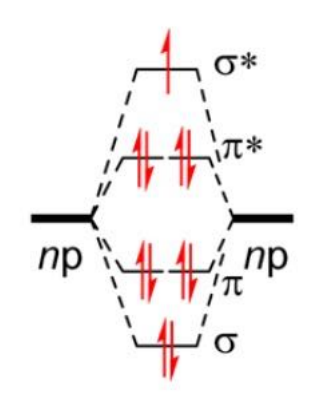
两中心三电子:自由基阴离子中间体,出现在单电子还原过程中,例如芳香自由基亲核取代反应:



■ 无机化合物中的 2c-3e 键,最简单的例子是 He₂+ 离子



■ 其他例子包括 Xe₂⁺ 离子,Xe-Xe 键长 308.7 pm



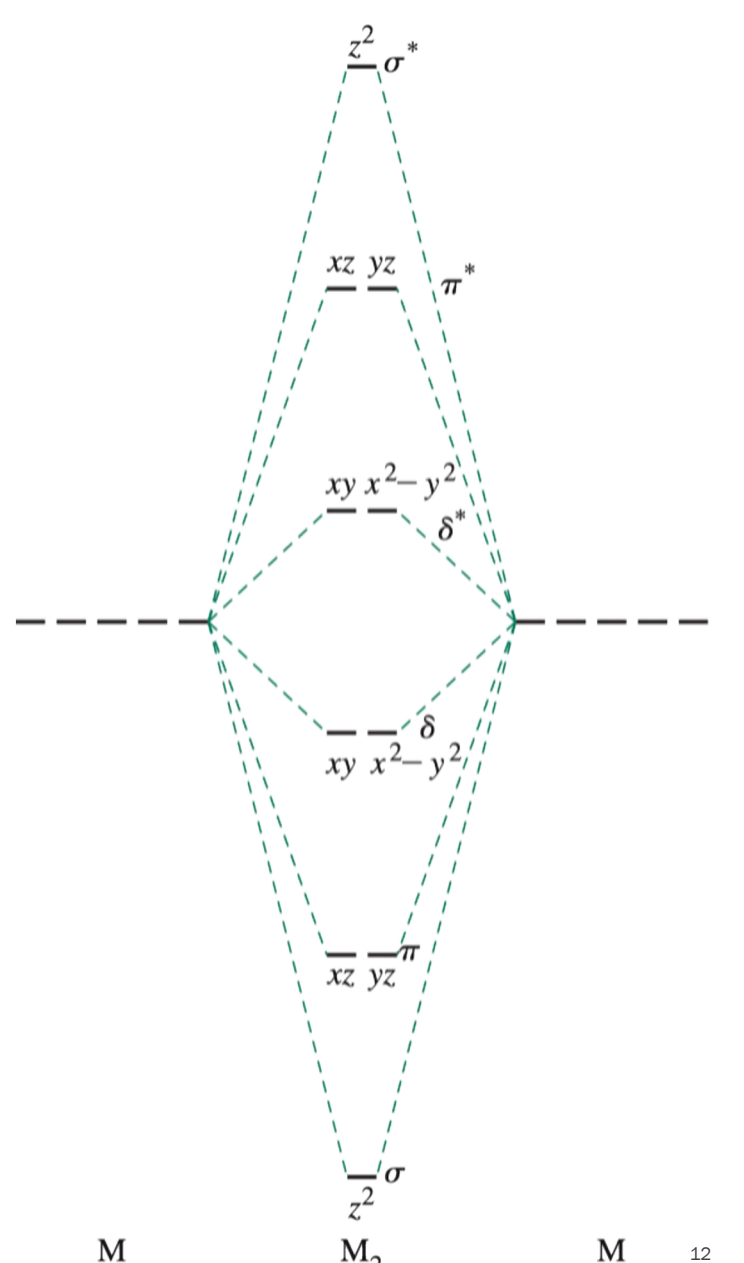


■ d 区元素的 2c-3e 键: [M₂((p-methoxy)form)₄]ⁿ⁺

■ 问: 金属是什么? 配合物是几价的?

- 5个d轨道形成分子轨道
- 理论上可形成金属五重键

■ 而要获得 2c-3e 键,应当填充 19 个电子



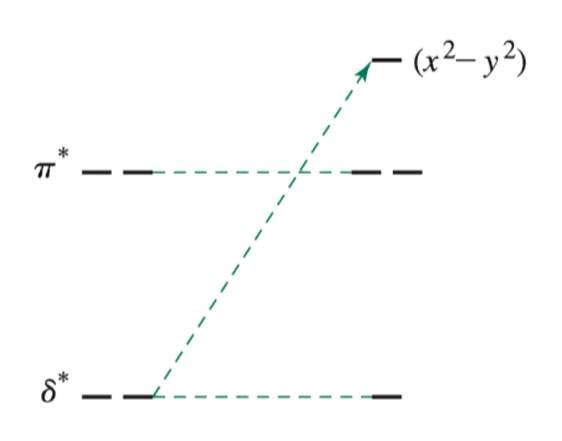


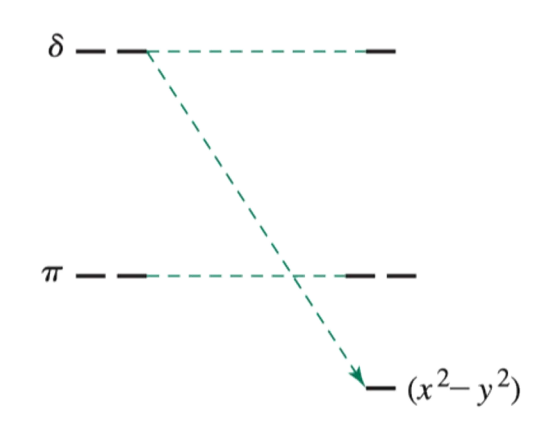
- 但配体使得金属 $d_{x^2-y^2}$ 轨道能量发生变化
- 且 $d_{x^2-v^2}$ 轨道被来自配体的电子所占据



- 为 [Ni₂L₄]+,或者 [Cu₂L₄]³⁺
- 排除后者中的 +3/+4 铜,金属为 Ni



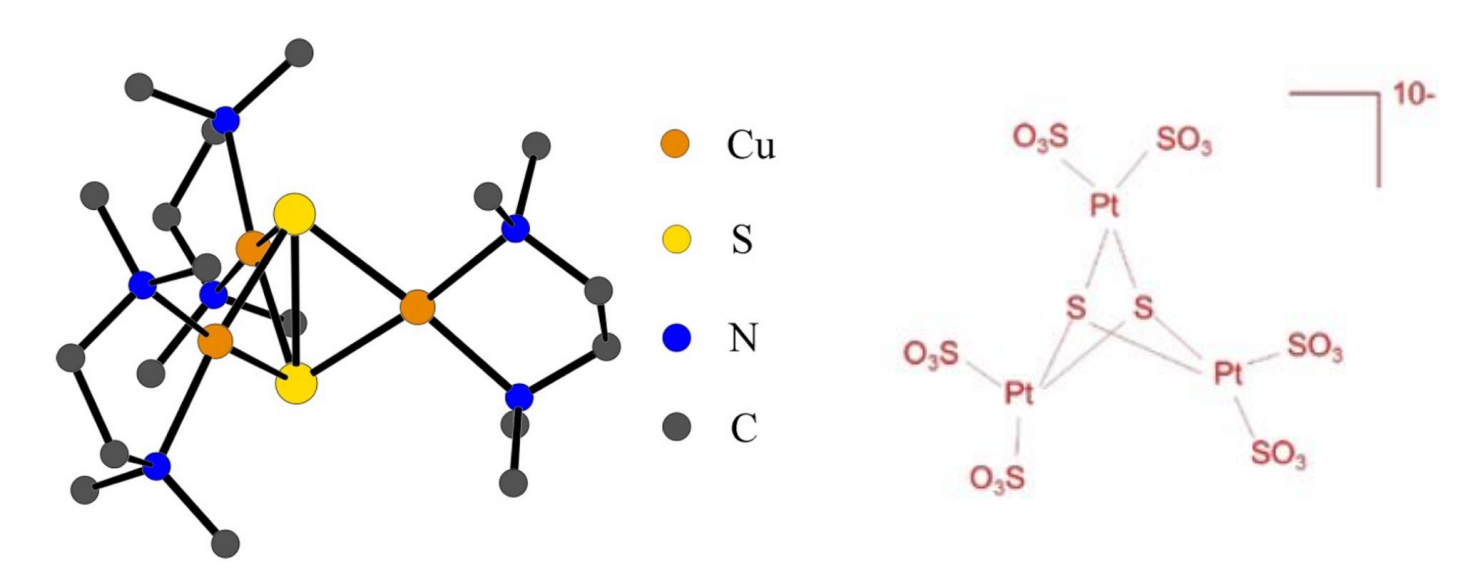






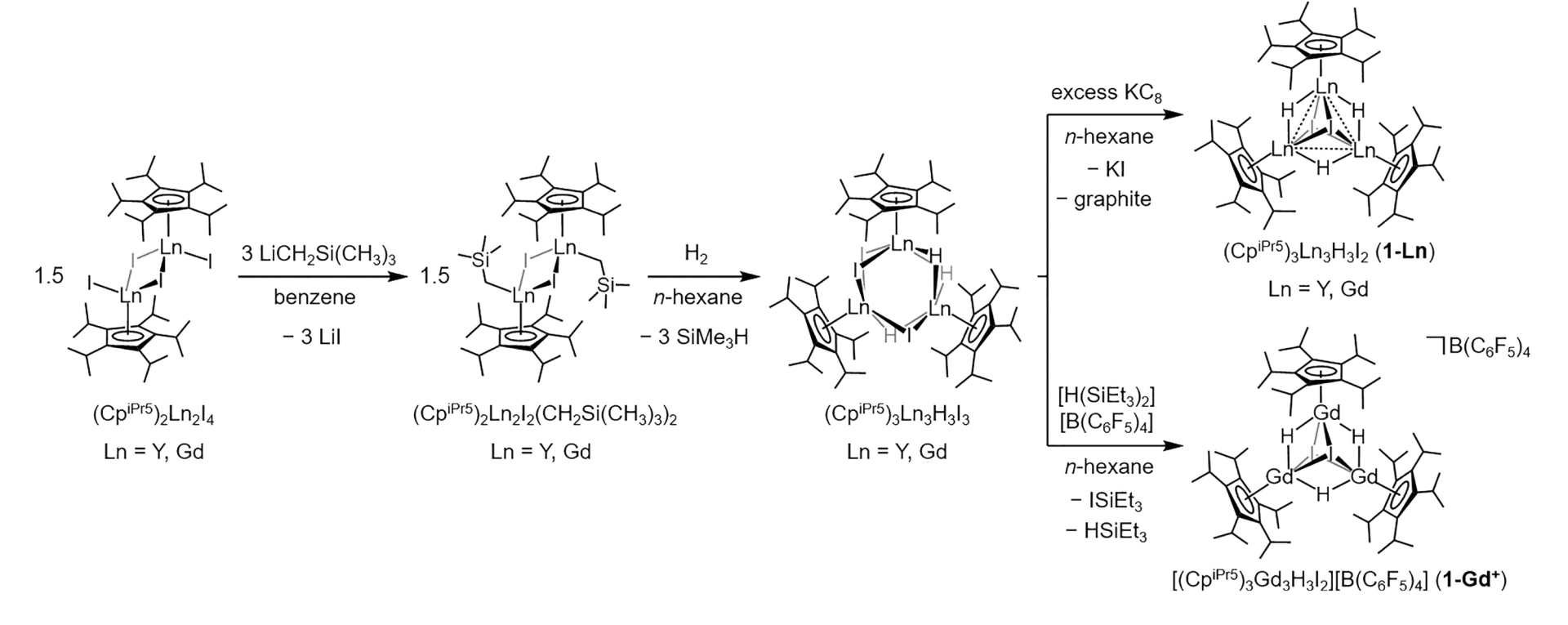


- 最后一个 2c-3e 的例子是一个有趣的三核络合物: [Cu₃S₂(tmeda)₃]³⁺
- 这一结构有些类似于 37 届初赛中的 $[Pt_3S_8O_{18}]^{10-}$,但两者毫无相关



■ 实验证明 S 的存在形式既不是两个 S²⁻,也不是 S₂²⁻,合理的解释是 S₂3- 这一 2c-3e 物种

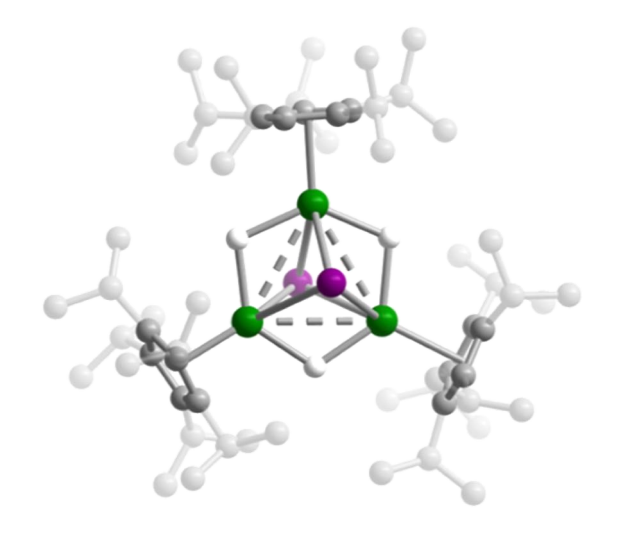
■ 3c-1e 物种非常少见,一个罕见的例子是 $(Cp^*)_3Gd_3H_3I_2$ —— 一个三重 对称的分子



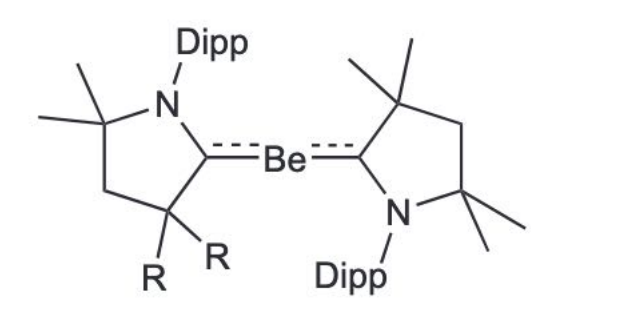
- 3c-1e 物种非常少见,一个罕见的例子是 $(Cp^*)_3Gd_3H_3I_2$ —— 一个三重 对称的分子 $(Gd: [Xe]4f^7 5d^1 6s^2)$
- 该化合物 S = 11
- 磁矩可通过磁化率测量,磁化率是表征物质在外磁场中被磁化程度的物理量。若磁矩 μ 单位是 B.M.,磁化率 χ 单位是 emu/mol
- 两者关系是:

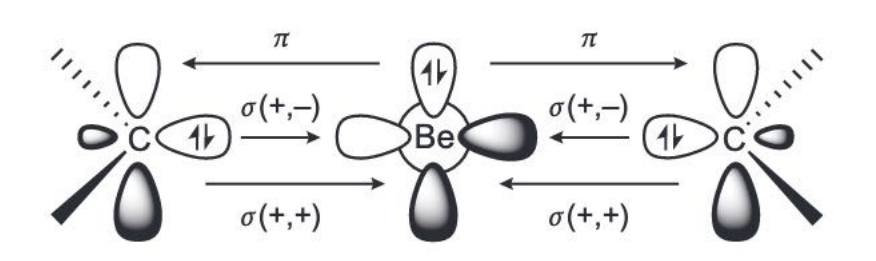
$$\mu = 2.828\sqrt{\chi T}$$

- 估算 300 K 下该物质的摩尔磁化率 χT
- 与实验值 50.08 相符



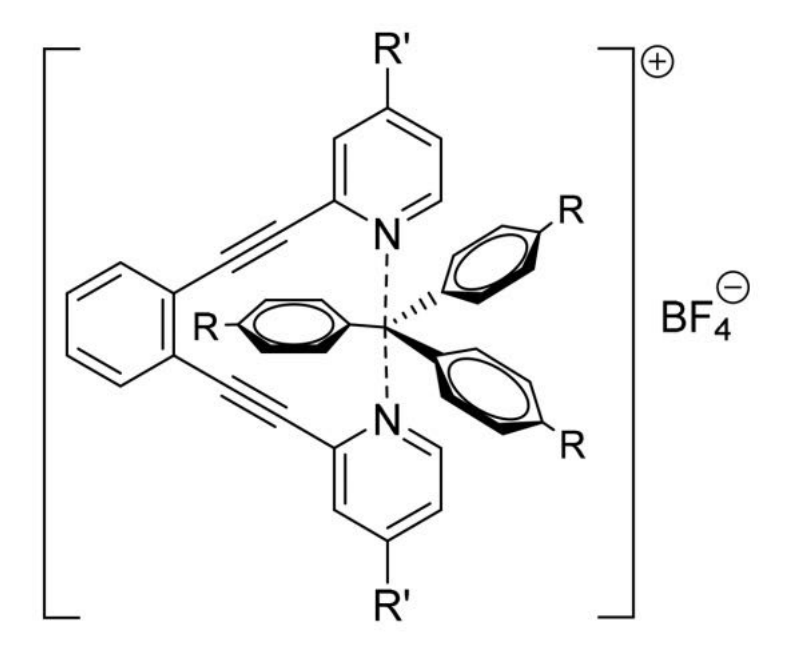
- 而 3c-2e 则非常常见,例如:
- 硼烷中的氢桥、硼桥
- 抓氢键 (Agostic 作用)
- 碳阳离子,如 CH₅+, 2-降冰片烯离子(非经典碳正离子)
- H₃⁺体系,最简单的 3c-2e 结构
- π体系也有 3c-2e 的例子,例如:





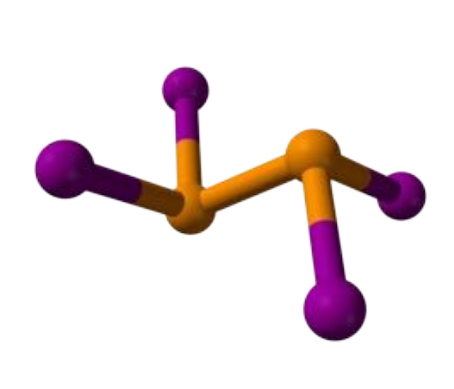


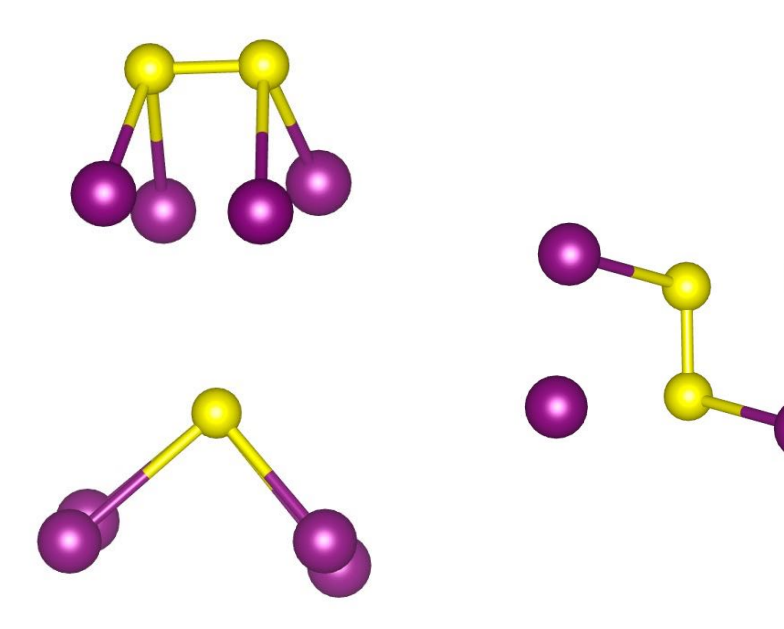
- 3c-4e 最早是在解释某些高价分子(例如 SF₆,XeF₂)时提出的
- S_N2 反应过渡态也可认为存在 3c-4e 成键
- 某些『过渡态』可以分离出来



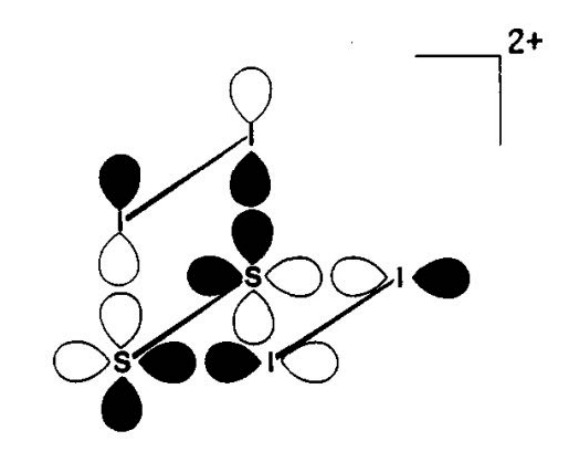


■ P₂I₄ 具有正常的八隅体结构,而 S₂I₄²⁺ 具有特别的结构:

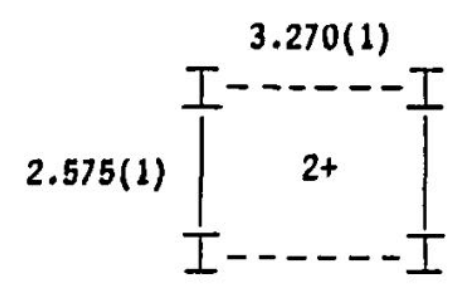


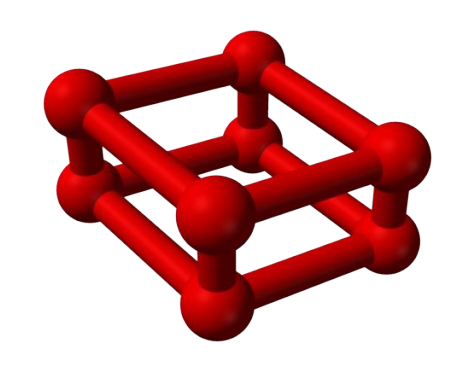


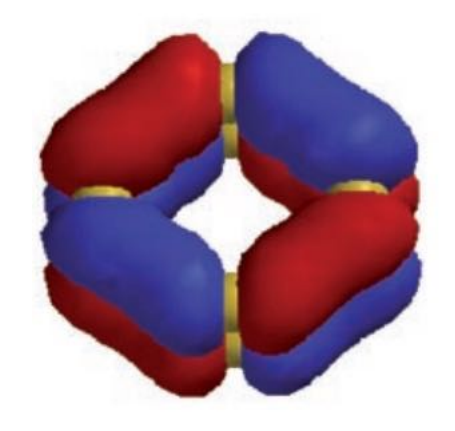
- 可认为是两根四中心两电子 π*- π* 键
- 4c-2e π*- π* 键可用于解释 I₄2+ 的成键



■ 高压下 O_8 分子的成键也被认为是 4 个 O_2 的 π^* 单电子彼此作用形成的, 其为抗磁性的暗红色固体,画出 O_8 的结构,需正确表示不同的键长

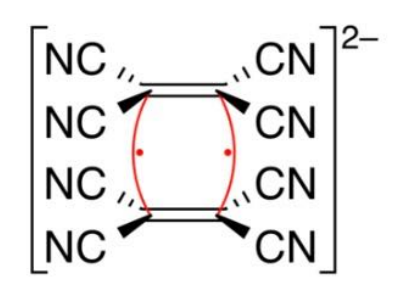




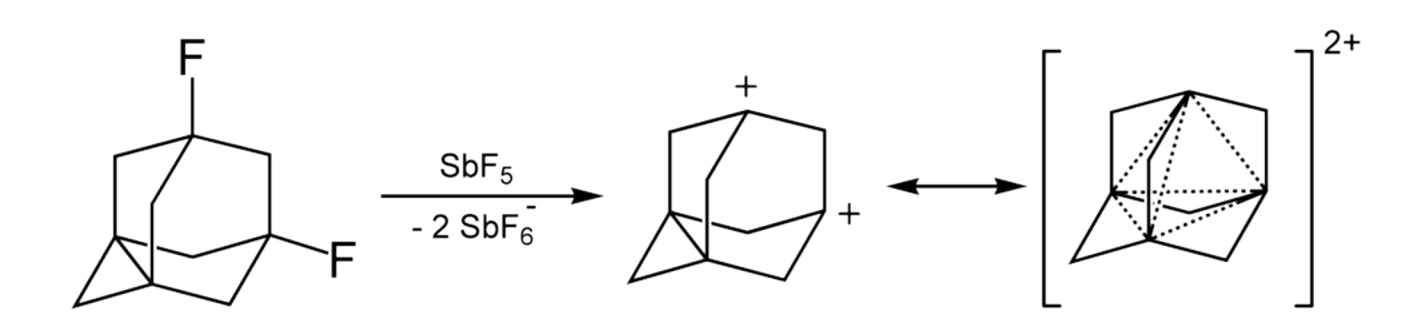


HOMO-3

■ 其他的 4c-2e: 四氰乙烯负离子二聚体



- 以及某高度对称的碳正离子,其可由对应的氟代烃与 SbF₅ 反应获得
- 阴离子为 [SbF₆]⁻,该离子化合物中 Sb 质量分数为 40.33 wt%。画出 氟代烃的结构

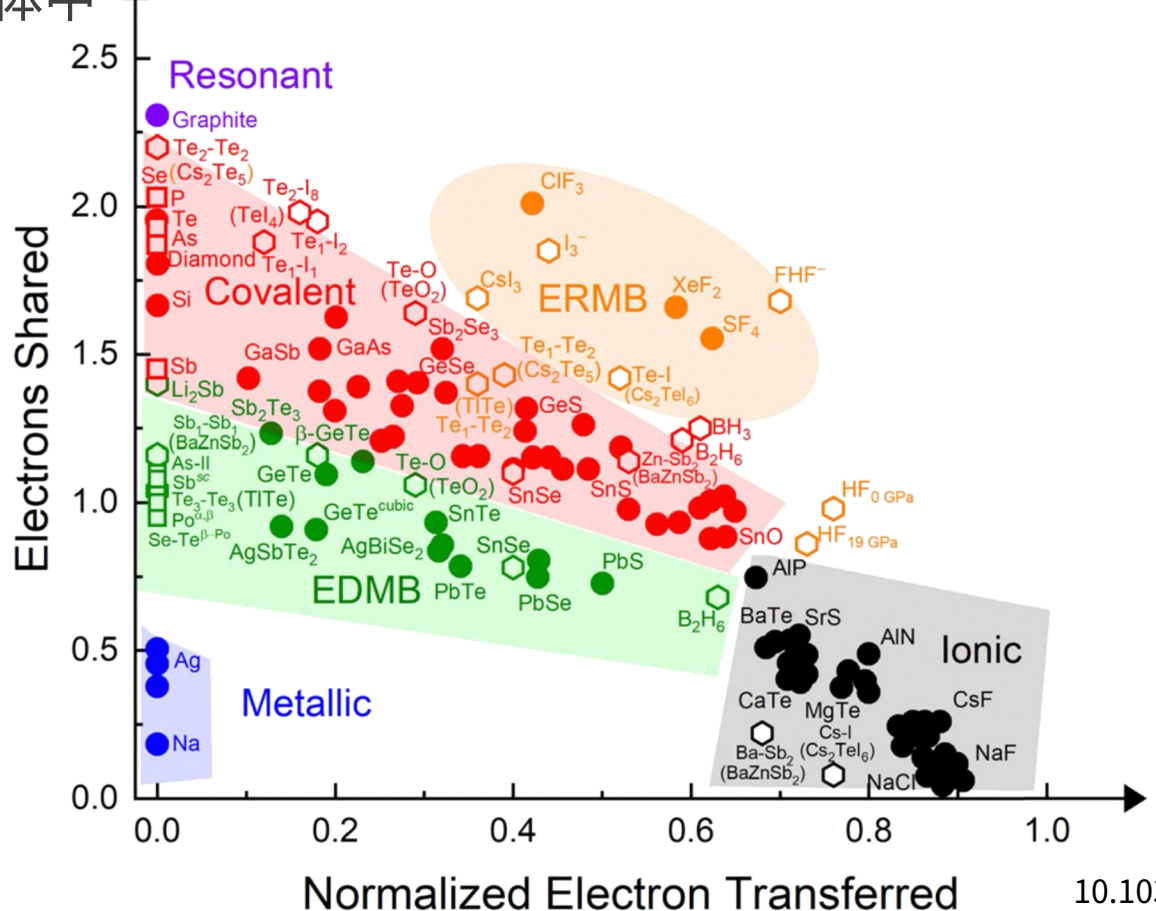


- 上述这些非常规共价键主要出现在分子/离子中
- 我们可以将其分为缺电子共价键/富电子共价键两类

电子数 中心数	1	2	3	4
1	自由基	孤对电子	-	-
2	单电子键 ArC…CAr H ₂ +	常规共价键	自由基阴离子 S _{RN} 1取代	双键
3	3c-1e键 Ga ₃ 团簇	3c-2e 硼烷 ,CH ₅ +	H ₃	3c-4e 超价化合物
4	-	4c-2e S ₂ I ₄ ²⁺ ,金刚烷阳离子	-	4c-4e 团簇,离域键



最近有篇文献将富电子多中心键 (ERMB) 和缺电子多中心键 (EDMB) 拓 展到了固体中

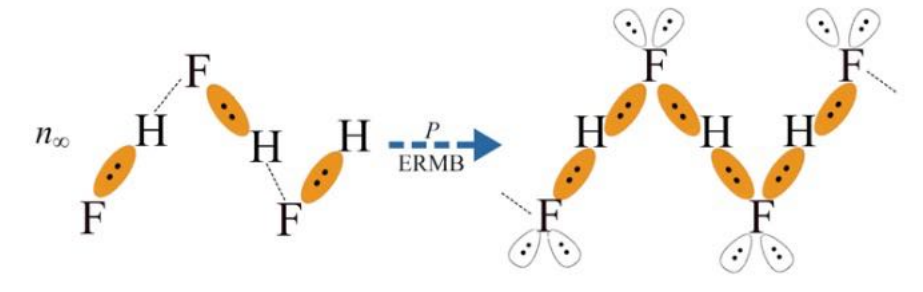




- ERMB 固体主要是卤化物,而 EDMB 固体则与 Zintl 相化合物有些相似, 例如 EDMB 固体通常具有:
- 拓展价层(超价化合物)
- 较低的带隙和闪亮的金属光泽
- 中等电导率,极高的介电常数……
- 此外压力对 ERMB/EDMB 的结构有较大影响,例如高压下氮族元素、 硫族元素单质可归于 EDMB
- 因为任何导致电子密度增加的行为(例如增加压力)都会促进 ERMB/EDMB 的形成



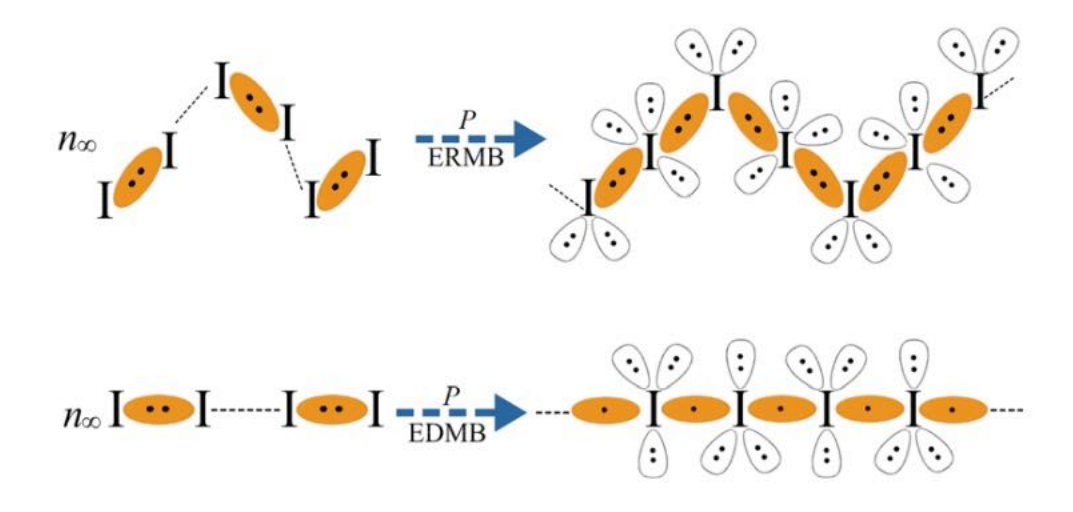
■ 例如高压下 HF 的结构会变成链状的 ERMB 固体



■ 高压下氢会变为 EDMB 金属氢:

■ 仿照上图,画出高压下碘单质形成的一维结构

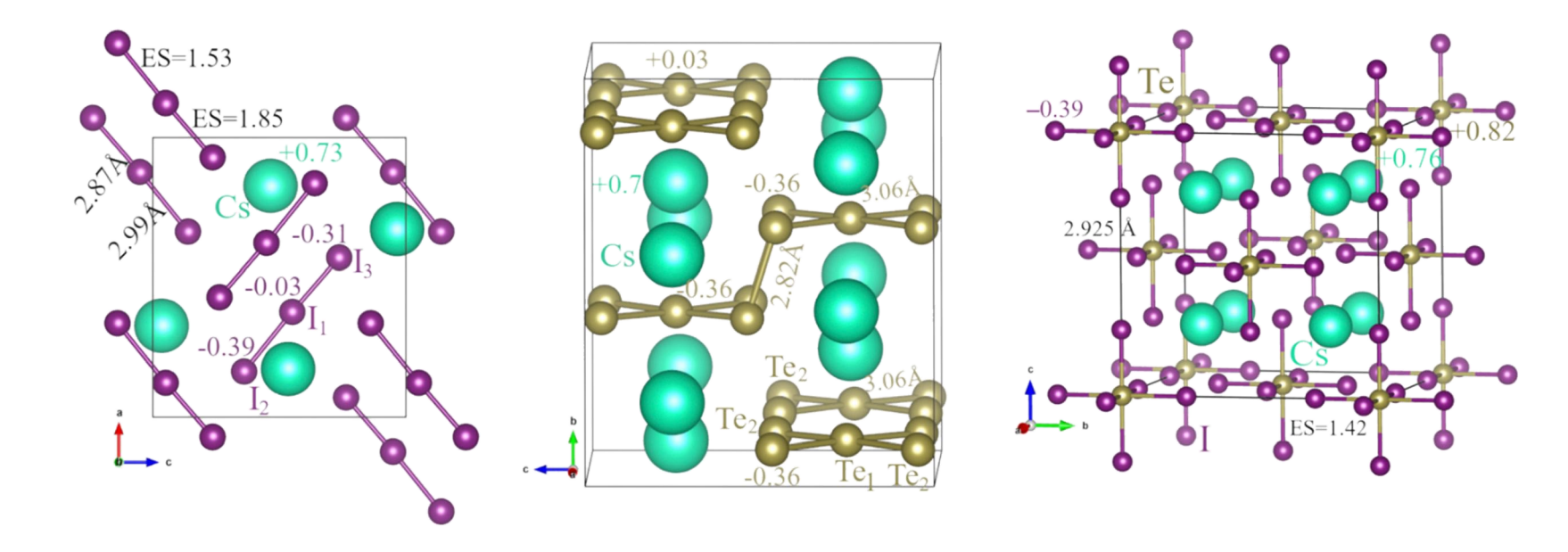
高压下碘单质变为 ERMB 或 EDMB:





■ 一些 ERMB 的例子:

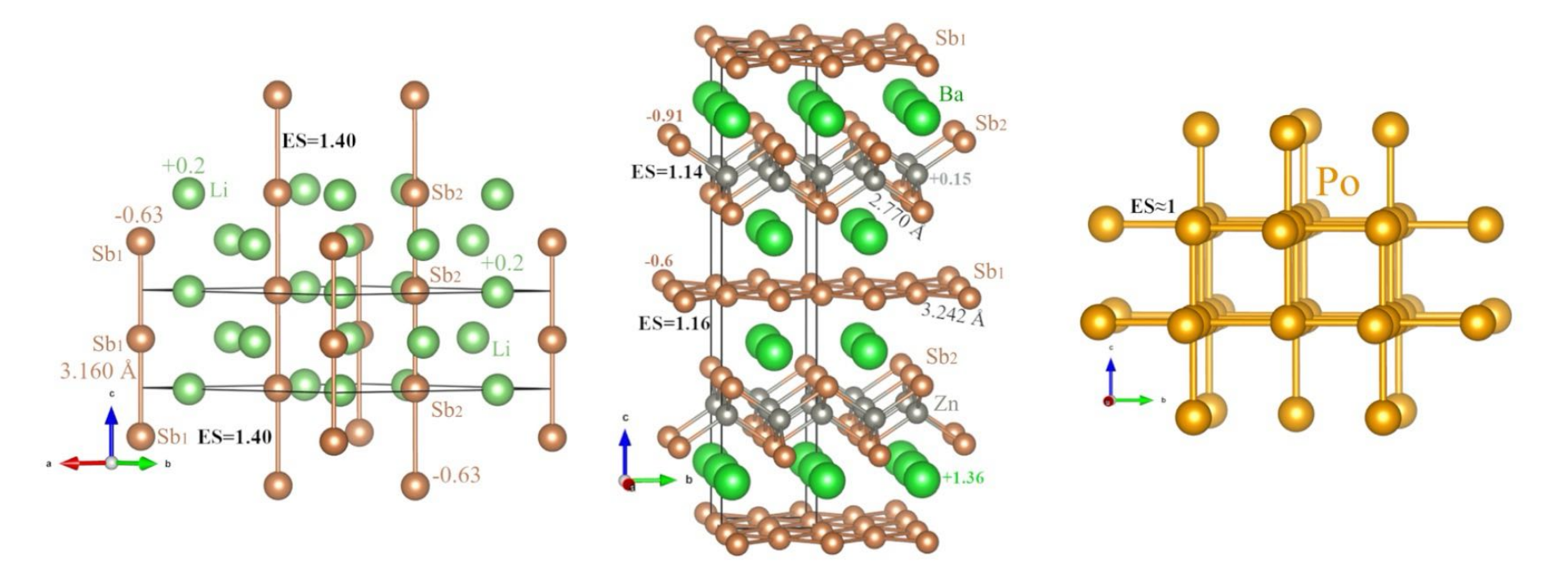
Csl₃ Cs₂Te₅ Cs₂Tel₆





■ 一些同原子 EDMB 的例子:

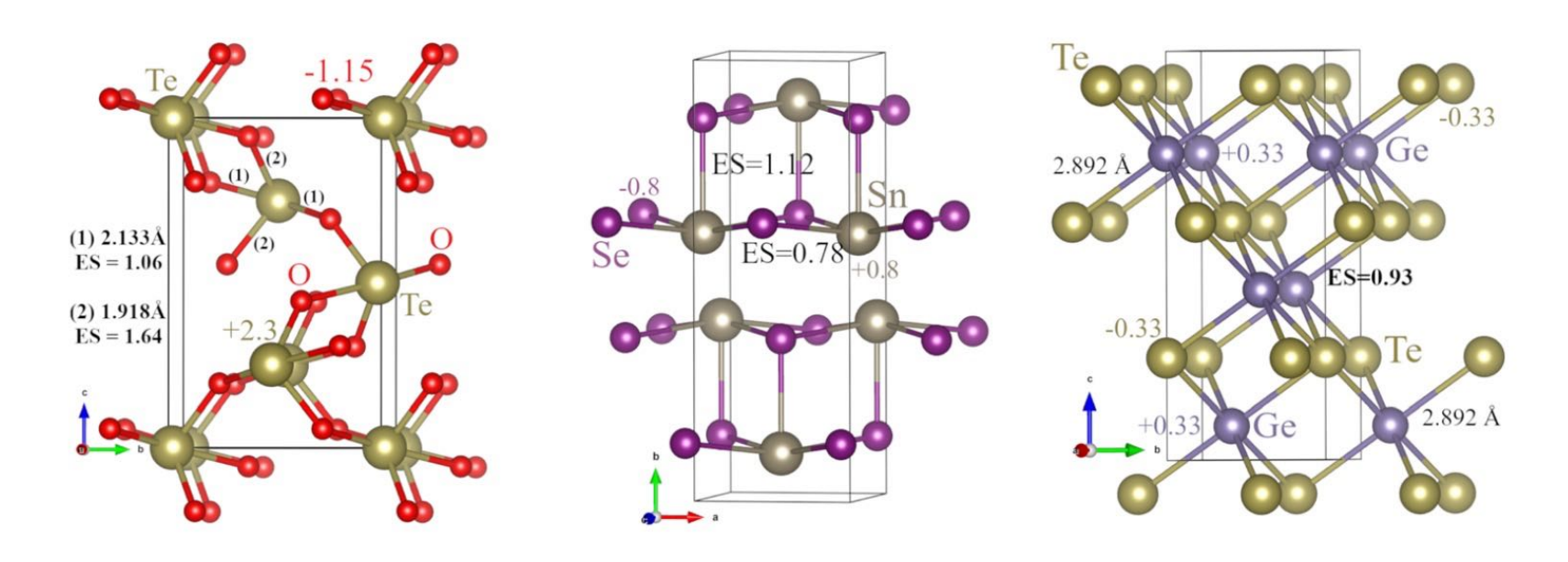
Li₂Sb BaZnSb₂ Po





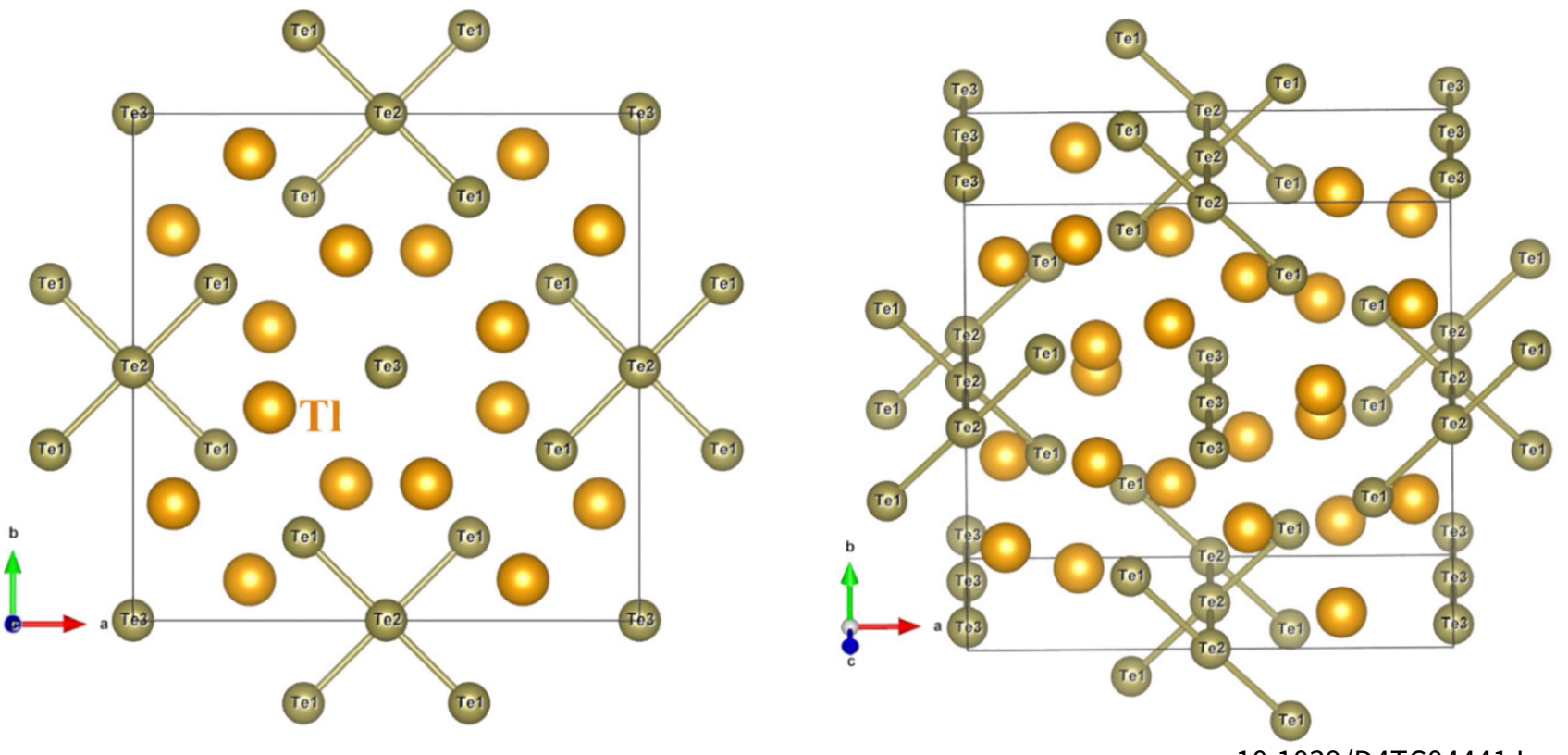
■ 一些杂原子 EDMB 的例子:

 TeO_2 SnSe GeTe



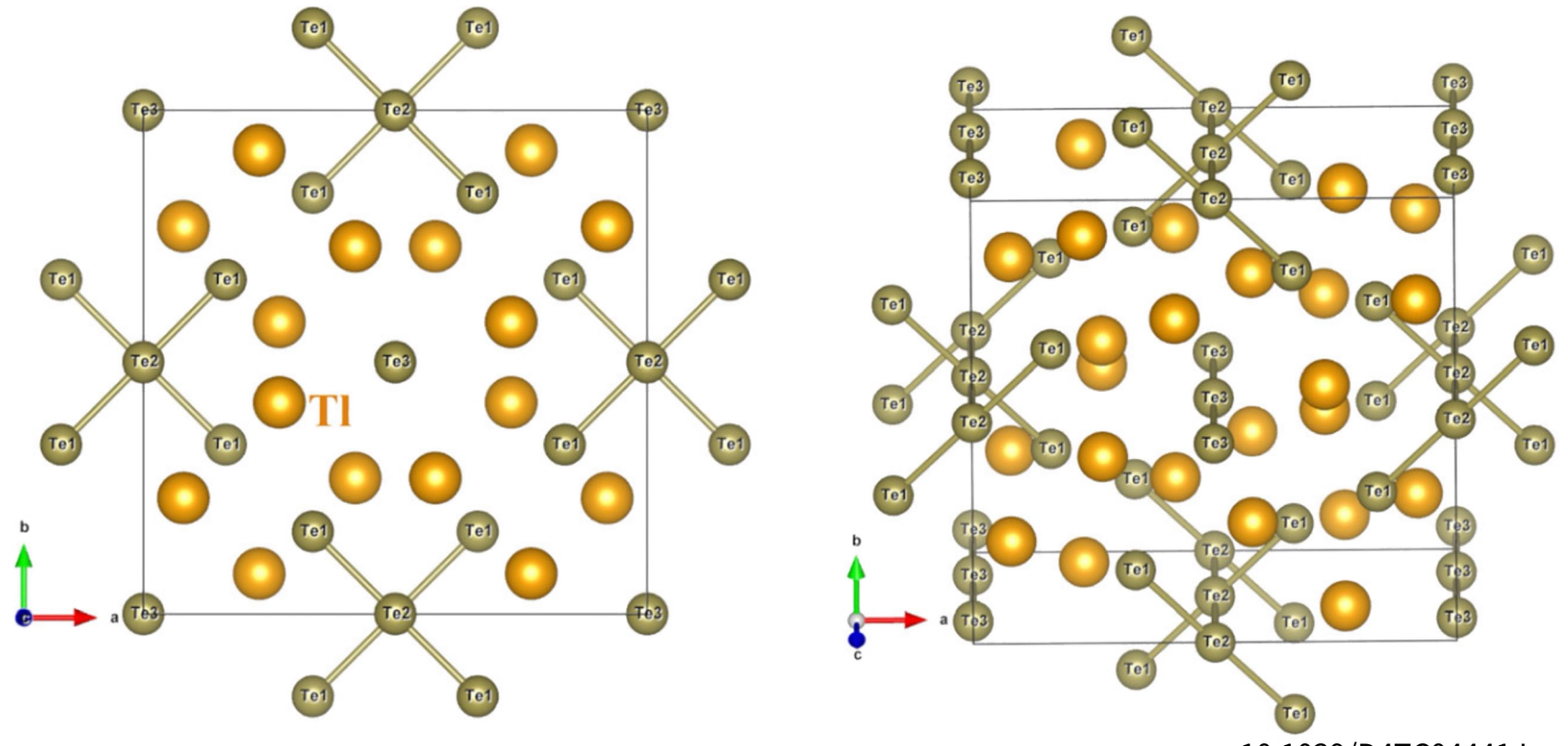


■ 而在 TlTe 中同时存在 EDMB 和 ERMB,Te 有三种化学环境,标记为 Te1、Te2、Te3。指出结构中的 EDMB 和 ERMB(可能不止一种)



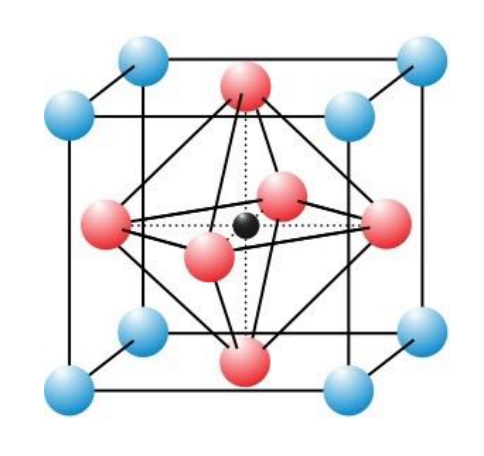


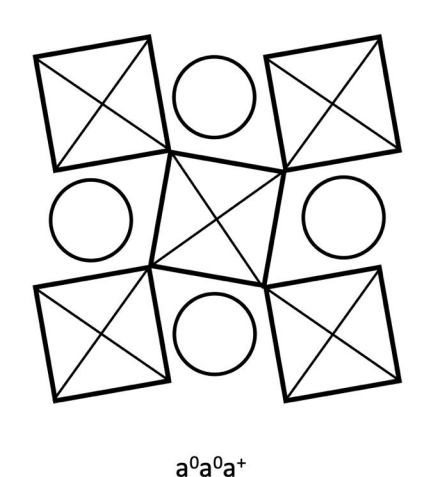
- EDMB: Te3 长链以及 Te2 长链,ERMB: Te1-Te2-Te1
- 因为 ERMB 是折链或有限的,而 EDMB 可以是无限的直链

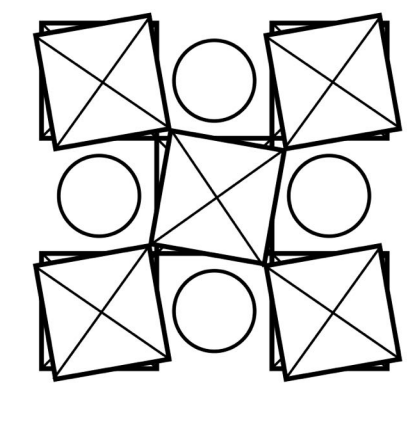




- 正常钙钛矿立方结构:八面体共顶点,组成简单立方网格
- 在正常结构上,由于离子半径、原子比例等因素的变化,会导致钙钛 矿结构畸变







a⁰a⁰a⁻



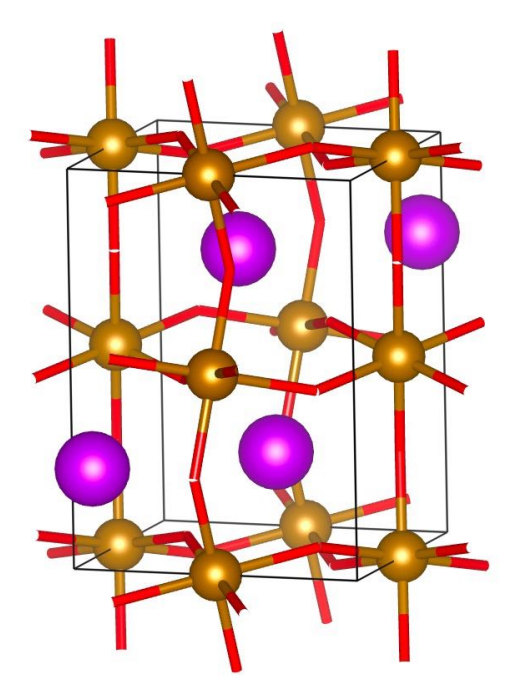
Goldschmidt 容差因子用于描述钙钛矿、钛铁矿等晶体结构的变形程度

$$t = \frac{r_A + r_O}{\sqrt{2}(r_B + r_O)}$$

- 若 t > 1,会得到六方/四方的结构,例如 BaNiO₃/BaTiO₃
- 若 1 > t > 0.9,为立方结构,如 SrTiO₃
- 若 0.9 > t > 0.71,为正交或菱面体结构,如 $GdFeO_3$ 、 $CaTiO_3$
- 若 0.71 > t,会采用其他结构,如 $FeTiO_3$



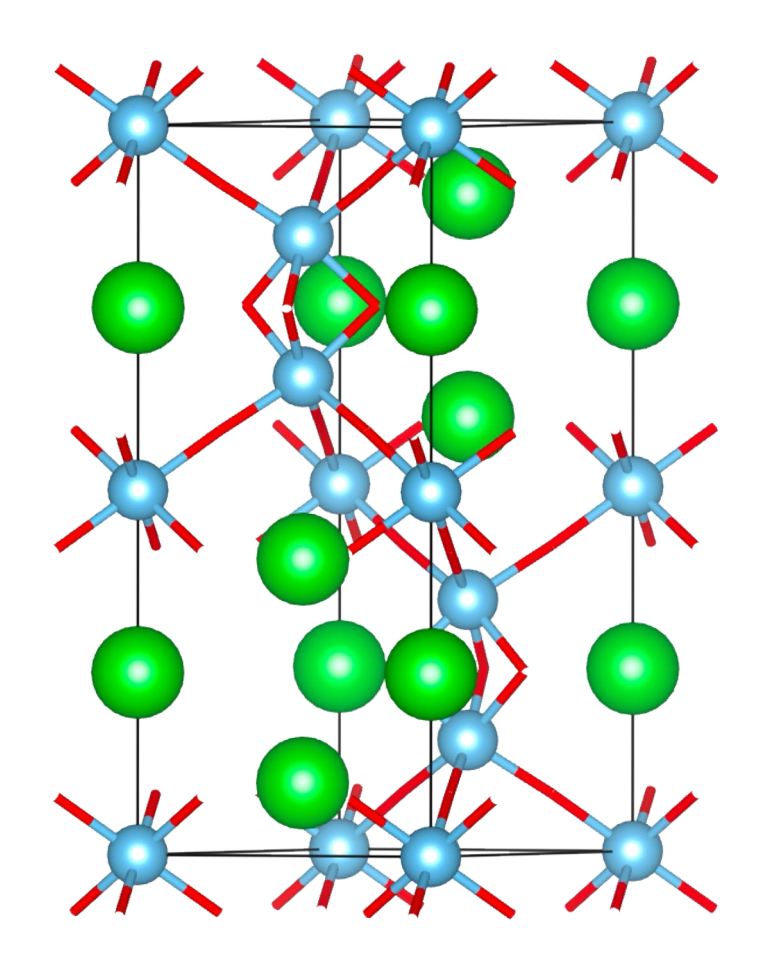
- 正交 GdFeO₃:
- [FeO₆] 八面体虽然共顶点形成骨架,但Gd 小了一些,导致骨架发生变形





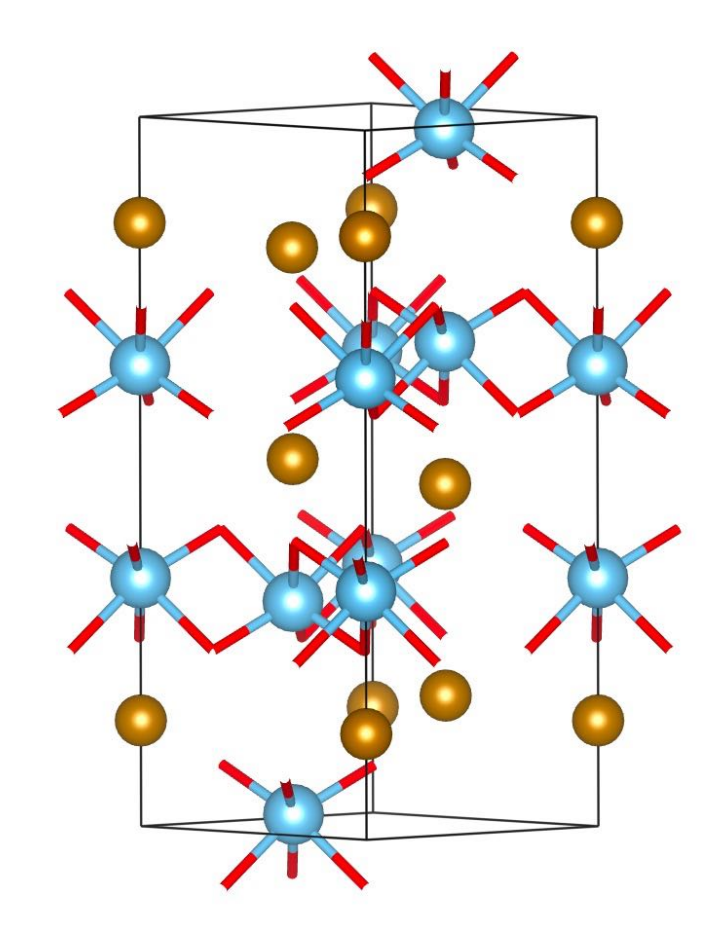
- 六方 BaTiO₃:
- 由于 Ba²⁺ 太大,[TiO₆] 以 ABBACC 的方式共面/顶点连接,创造更大的空隙

■ 不属于钙钛矿结构



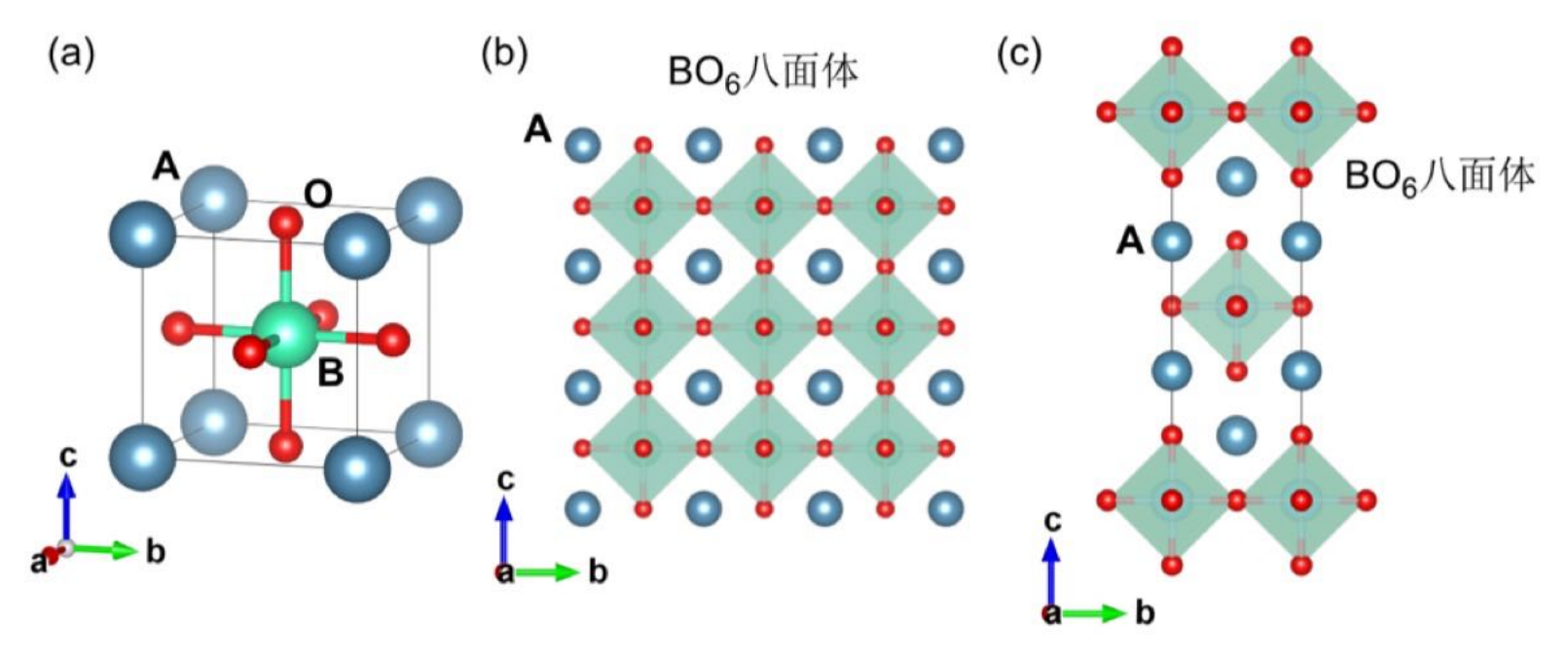


- 三方 FeTiO₃:
- [TiO₆] 以三方石墨的方式排列,Fe 填充 在层之间,不属于钙钛矿结构



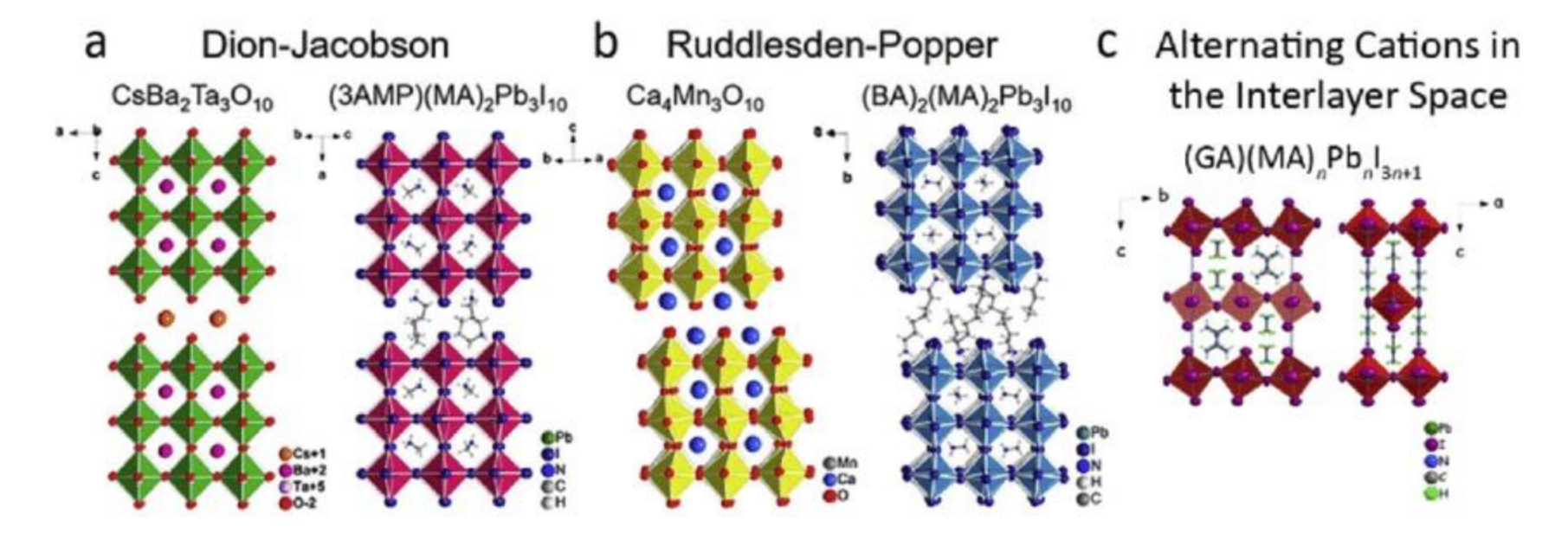


- Ruddlesden-Popper 相和 Dion-Jacobson 相是两种类型的钙钛矿衍 生结构
- 2021 年 35 届初赛考查了 RP 相的结构



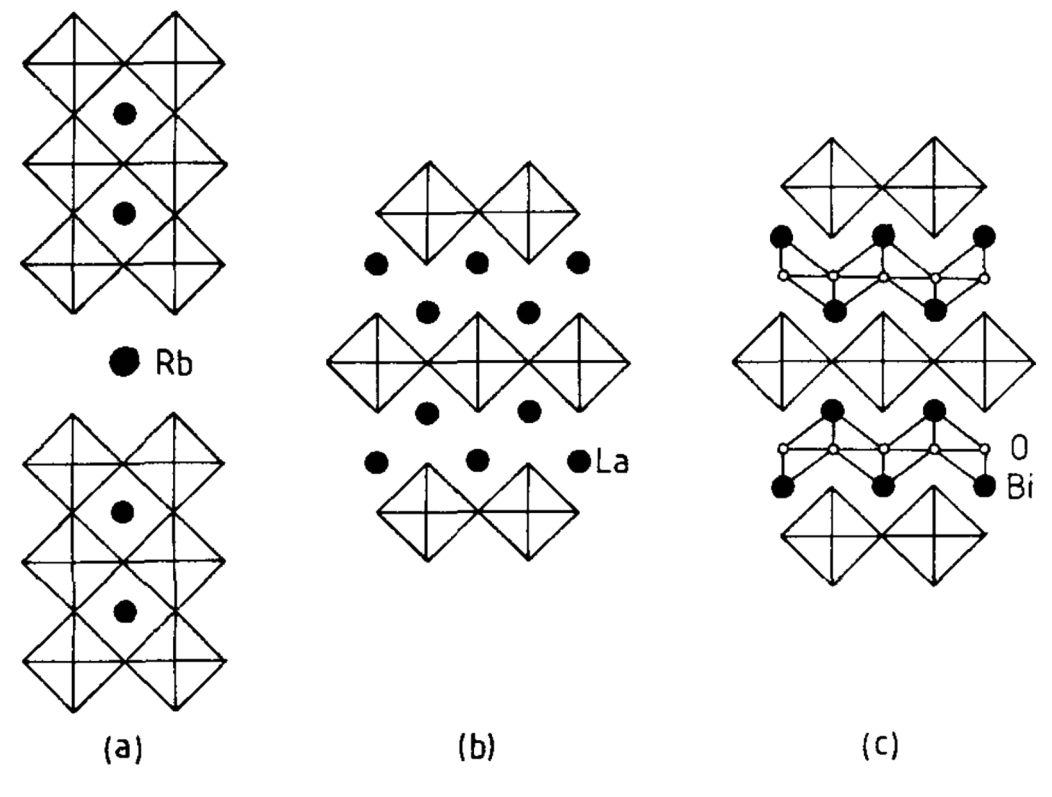


- Ruddlesden-Popper 是将钙钛矿八面体之间的连接断开,层与层之间 错开 1/2 个周期得到的
- Dion-Jacobson 相没有错开
- 请写出 DJ 和 RP 相的通式 (ABO₃)_n(O) 以及 (ABO₃)_n(AO)





 除了用 A 原子隔断八面体,还可以用其他层状结构进行隔断,例如 Aurivillius 相是通过 Bi-O 层隔开的,其具有氧离子导电性



给出 (c) 的化学式 (八面体为 [WO₆]) Bi₂WO₆

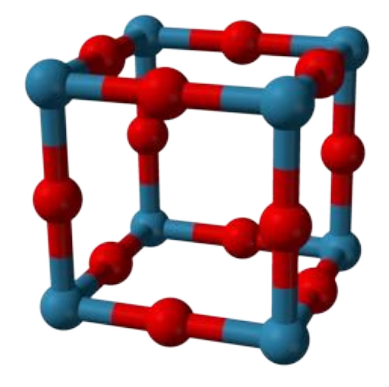
给出 Aurivillius 相的 通式

 $[Bi_2O_2] A_{n-1}B_nO_{3n+1}$



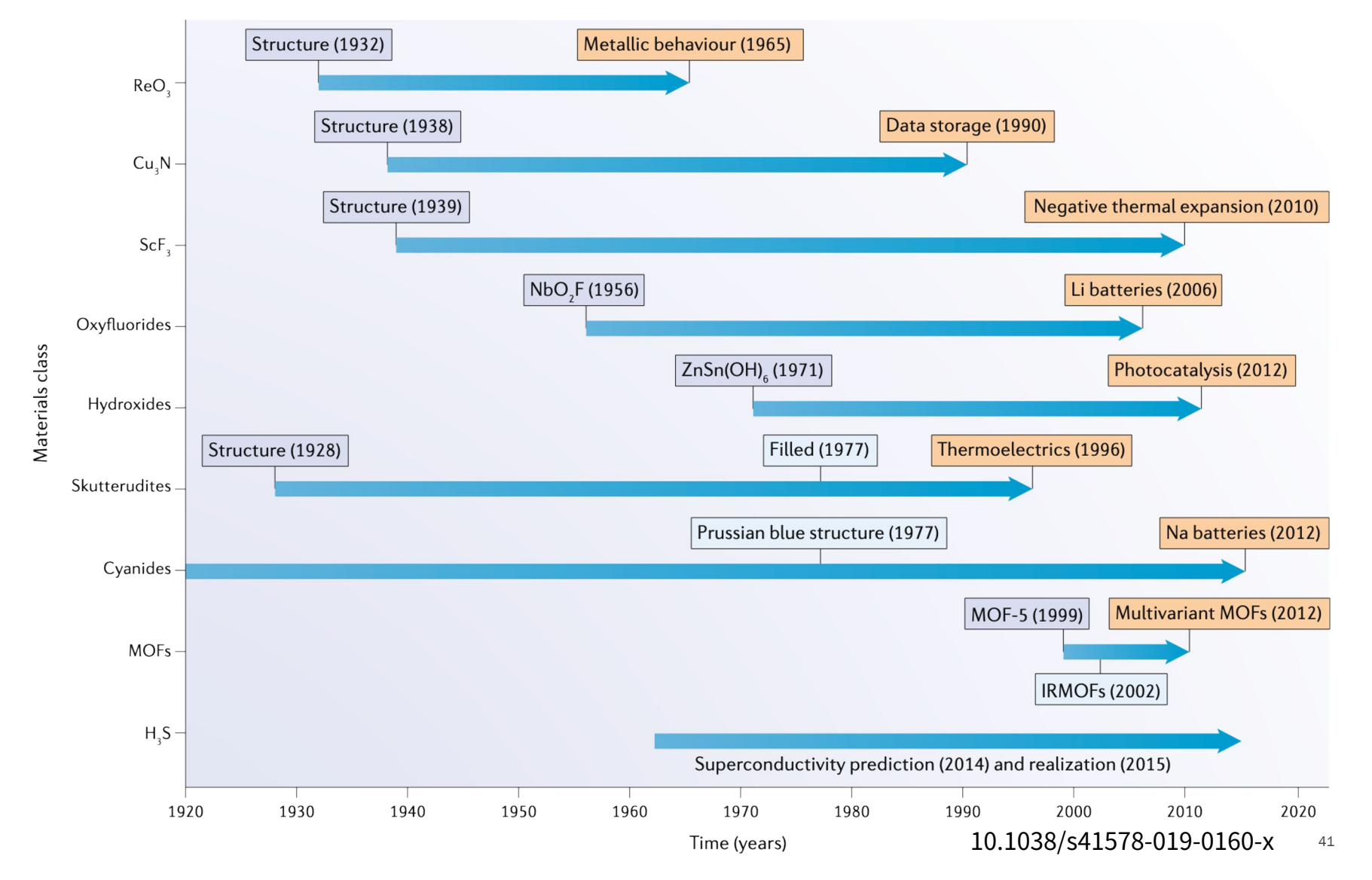
■ RuO₃ 具有缺陷钙钛矿结构,具有类似金属的导电性,但同样为八面体

共顶点连接的 WO3 是绝缘的



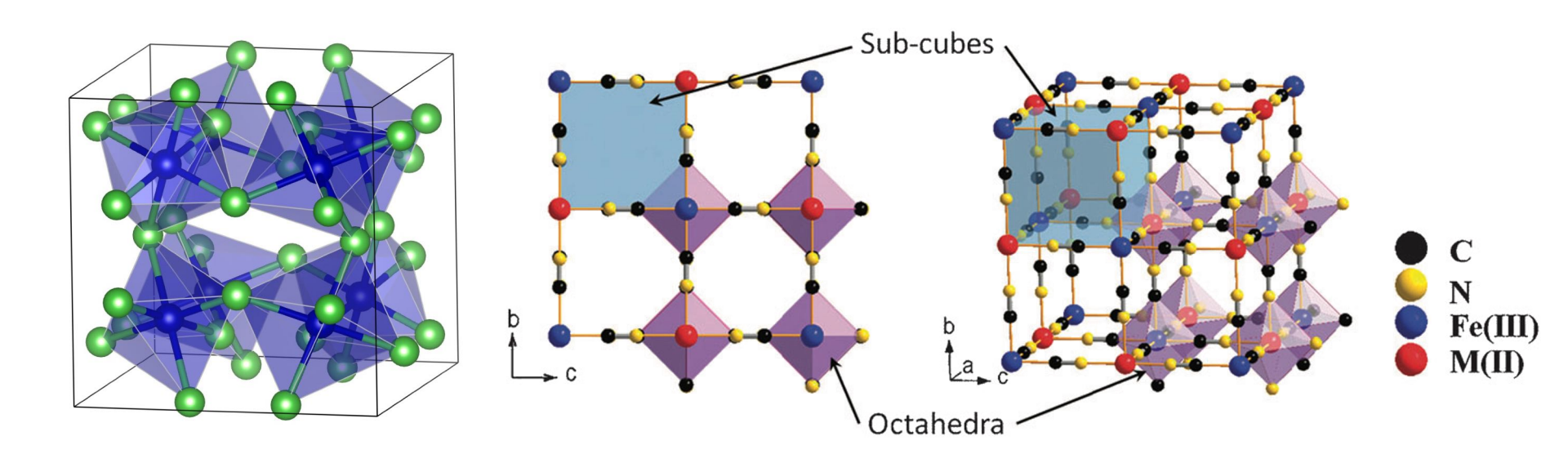
- 很多材料具有类似 RuO₃ 的结构,例如普鲁士蓝,MOF (25 年 NP)
- YBCO 超导体也是在缺陷钙钛矿结构的基础上衍生而来的

■ 缺陷钙钛矿结构的发展:





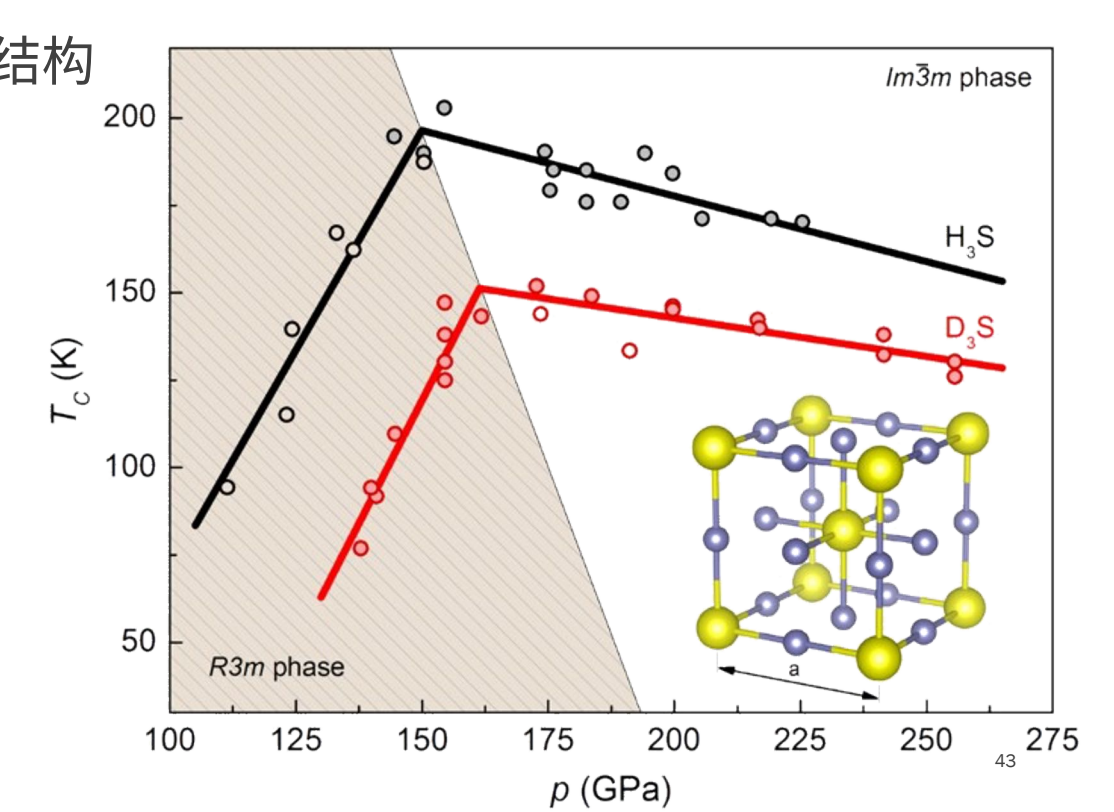
- Skutterudite 是砷化钴的矿物,理想化学式为 CoAs₃
- 普鲁士蓝具有 [FeM(CN)₆] 的骨架结构,钠离子可填入立方体空隙





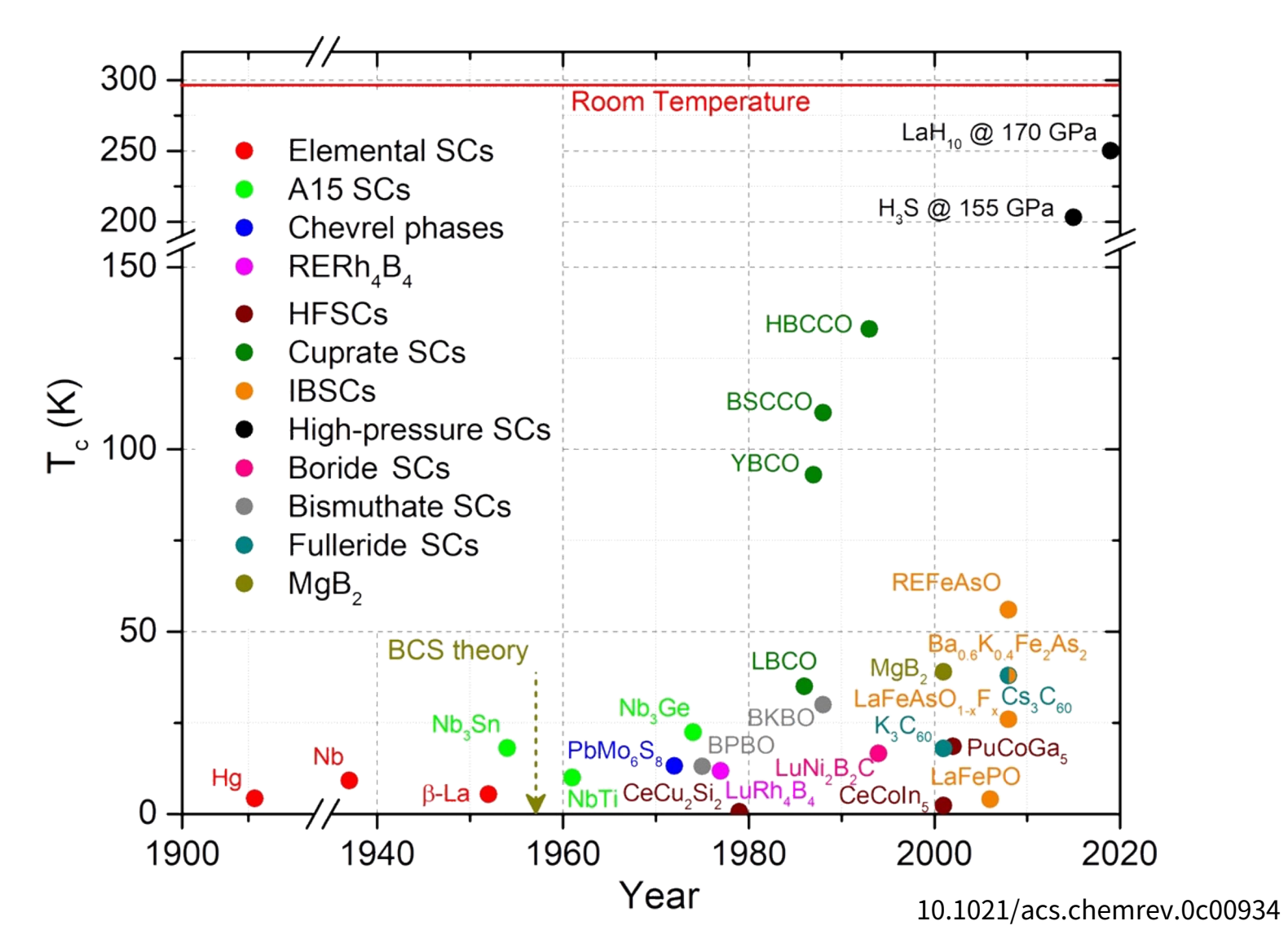
- 而 MOF-5 是有机酸(图中为对苯二甲酸)的锌盐,2020 年决赛二考查 了其结构
- 2015 年科学家发现高压下 H₃S 具有较高的超导转变温度 (242 K)

H₃S 具有两套 ReO₃ 穿插的结构

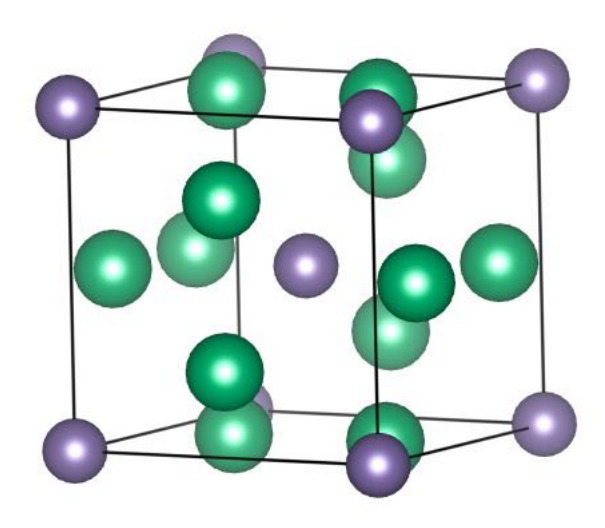


- 1911 年,科学家在汞中观察到了超导现象,其临界温度为 4.2 K
- 科学家致力于寻找高转变温度的超导体,以及理解超导机制的新理论

- 1950s,巴丁-库珀-施里弗理论解释了声子介导超导机制:电子和声子 耦合,导致两个电子组合为库珀对
- 但 BCS 理论并未能为新型超导体提供明确的理论预测,能够用 BCS 理论解释的超导体被称为常规超导体,而不能被解释的为非常规超导体

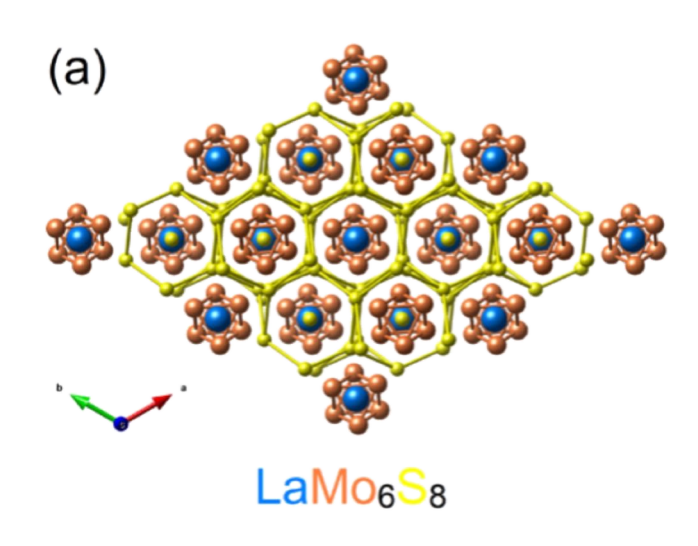


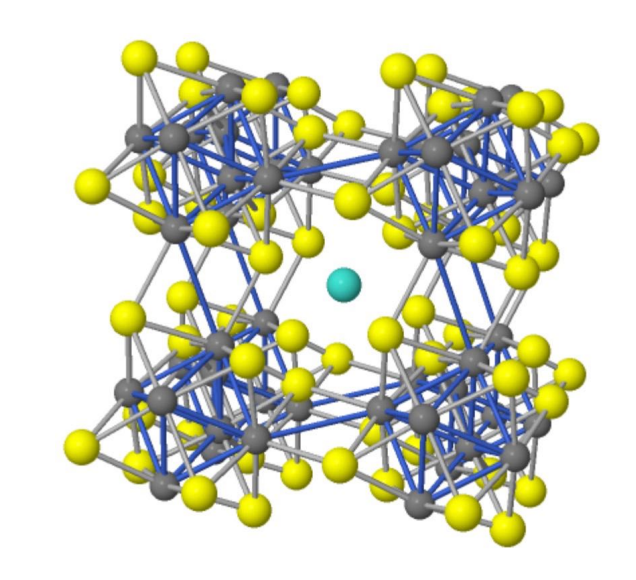
- 高温超导体时代之前科学家主要在研究 A15 超导体
- A+数字 在过去用于表示单质的结构,例如 A1 fcc, A2 bcc, A3 hcp, A4 金刚石, A5 β-Sn(白锡), A6 单质铟, A7 α-砷, A8 γ-硒, A9 石墨, A10 α-汞, A11 α-镓, A12 α-锰, A13 β-锰, A14 碘单质, A15 β-钨, A16 α-硫, A17 黑磷, A20 α-铀
- Nb₃Ge 具有当时已知最高的 T_c ,为 23.2 K





■ 最早人们以为超导性与磁性不相容——因为磁场能与库珀对相互作用从而破坏超导性,直到科学家发现了 Chevrel 相的超导体——MMo₆S₈——当金属为 Pb 时,其临界温度为 13.2 K







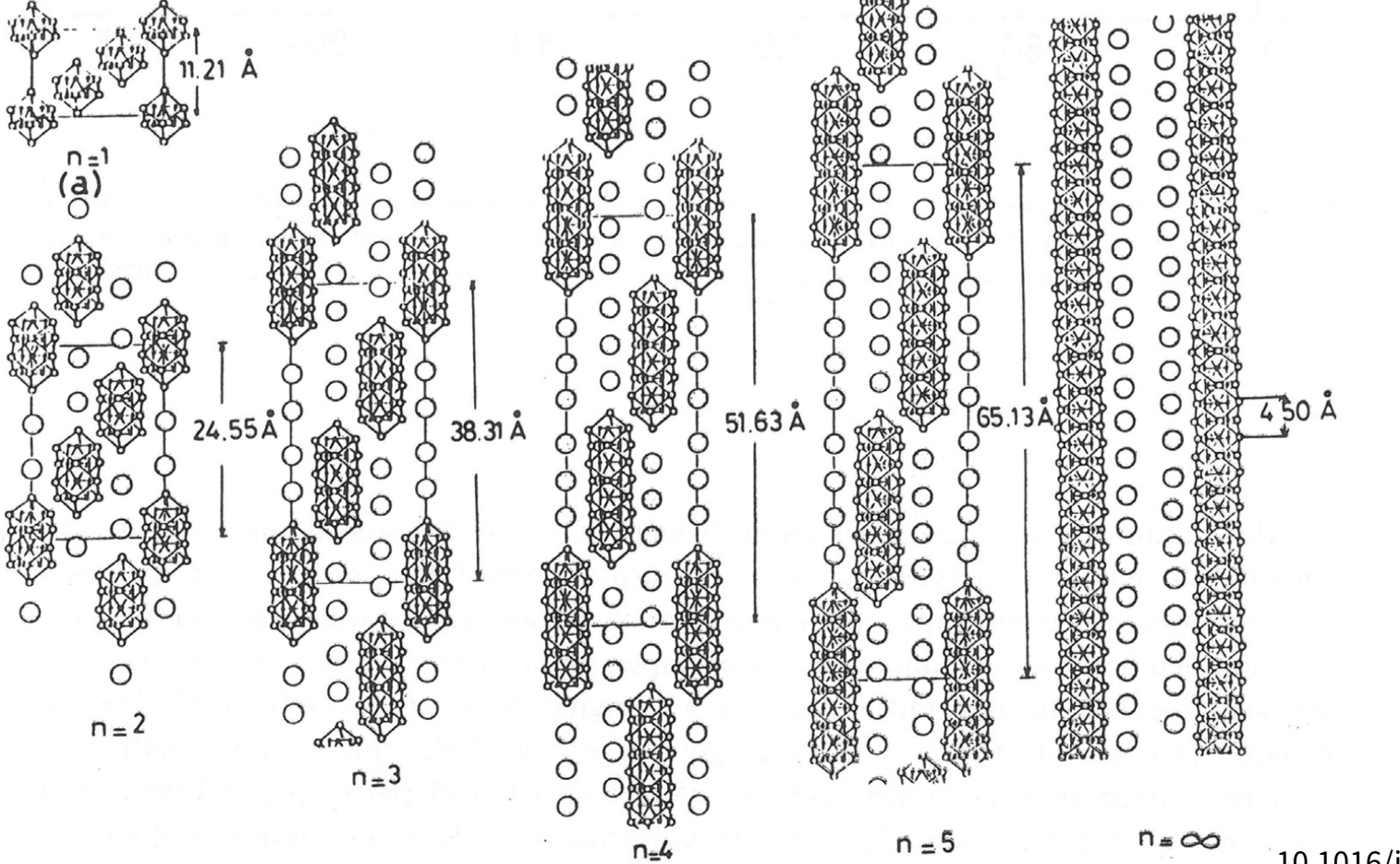
- Chevrel 相是一类具有八面体团簇结构的物质,八面体团簇以 M_6X_8 为核心,例如 $Mo_6Cl_{14}^{2-}$
- 结构中金属以八面体排列,卤素在八面体棱上

- 在该结构的基础上,可产生一些变化
- 例如卤素原子更多的 $Ta_6Cl_{18}^{4-}$,或者碳原子填入金属八面体空隙所形成的 $[Au_6C(PPh_3)_6]^{2+}$

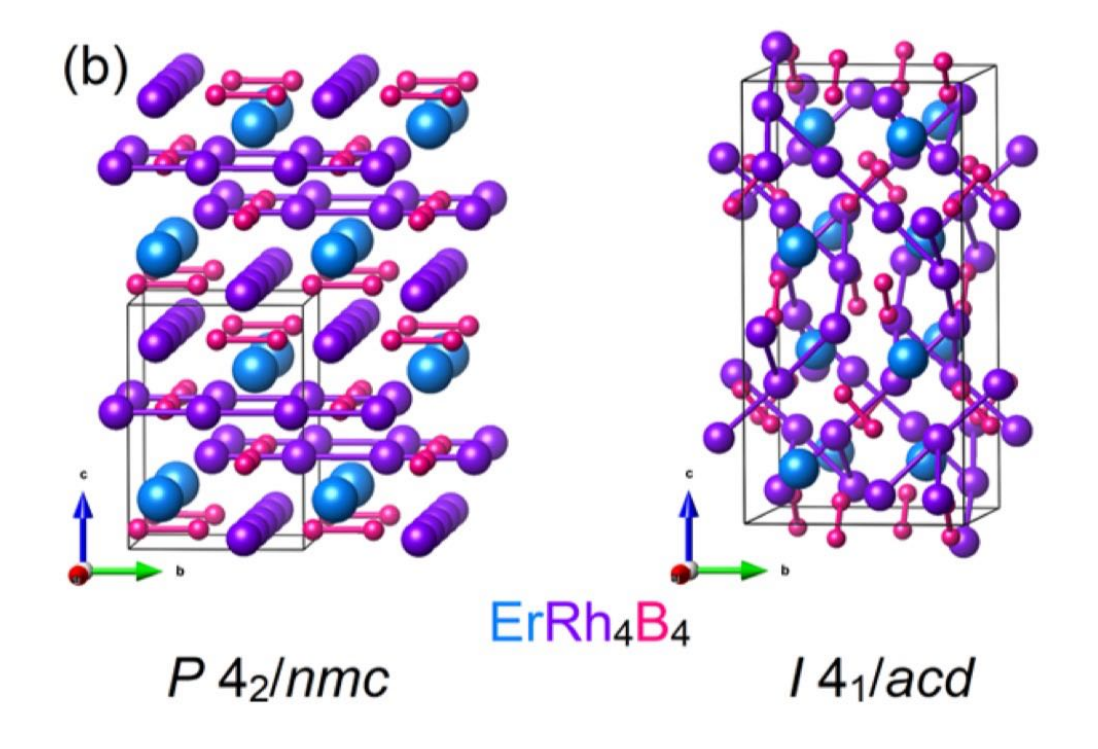
Chevrel 相

 $M_{2n-2}Mo_{6n}X_{6n+2}$

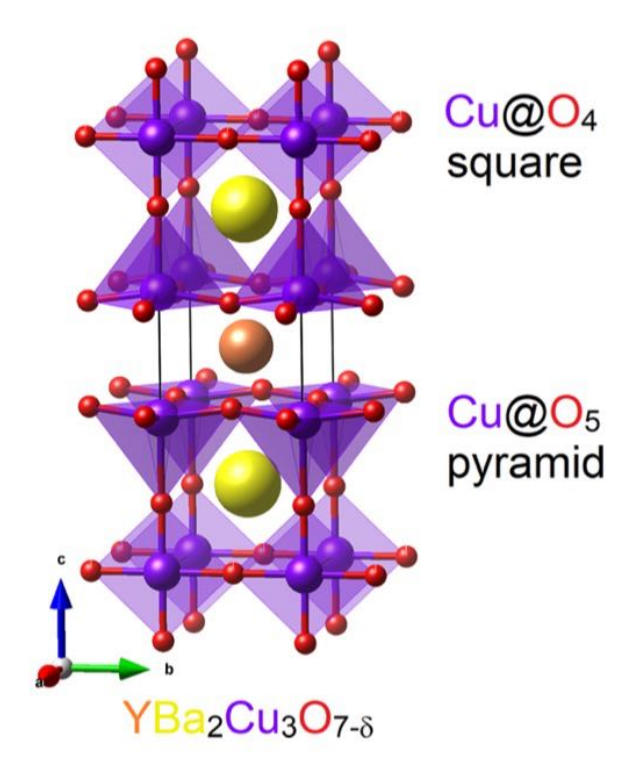
■ 下图为一系列 Chevrel 相的化合物,n = 2 为 $Cs_2Mo_{12}Se_{14}$,给出通式



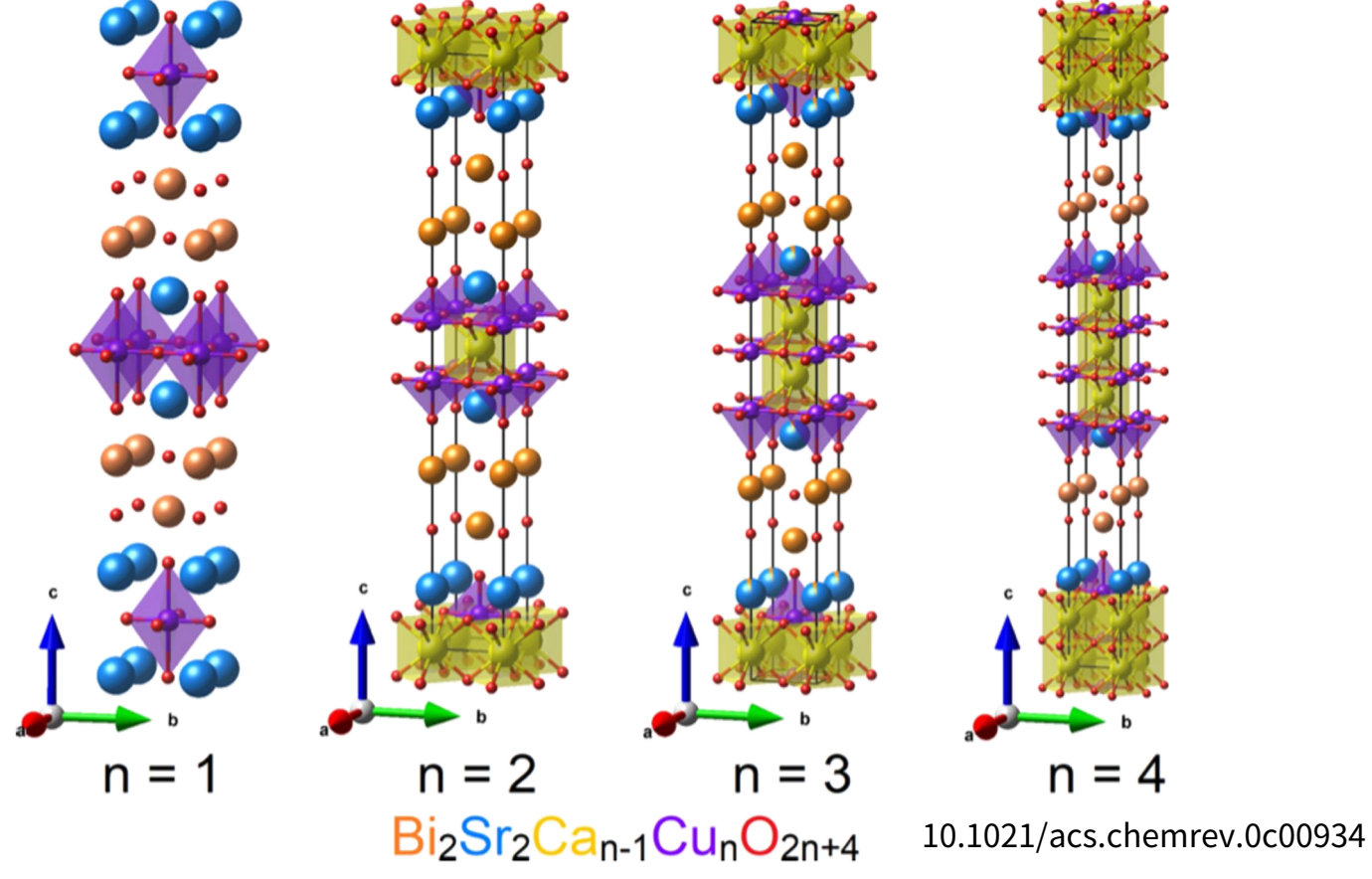
■ 之后还发现了稀土元素超导材料 RERh₄B₄,存在磁性与超导性的相互作用。 Chevrel 相和 RERh₄B₄ 中可能存在新的超导机制



- 氧化物的带隙通常较大(不导电),所以科学家一开始并未仔细研究
- 1986 年科学家发现钡掺杂的反铁磁绝缘体 La₂CuO₄ 中存在 30 K 的超导性,此后又后续发现了 200 多种铜氧化物超导体

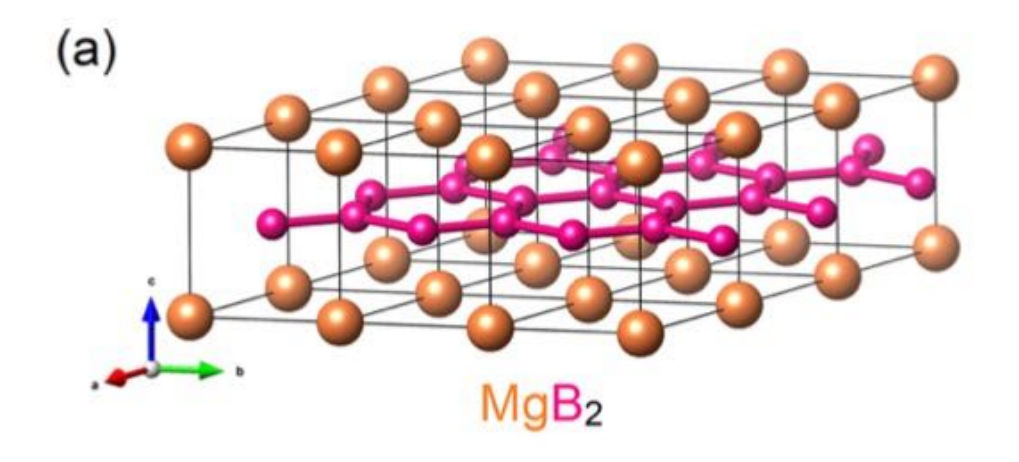


■ 目前最高的转变温度出现在 HBCCO (Hg-Ba-Ca-Cu-O) 中,为 135 K (常压),是1994年发现的

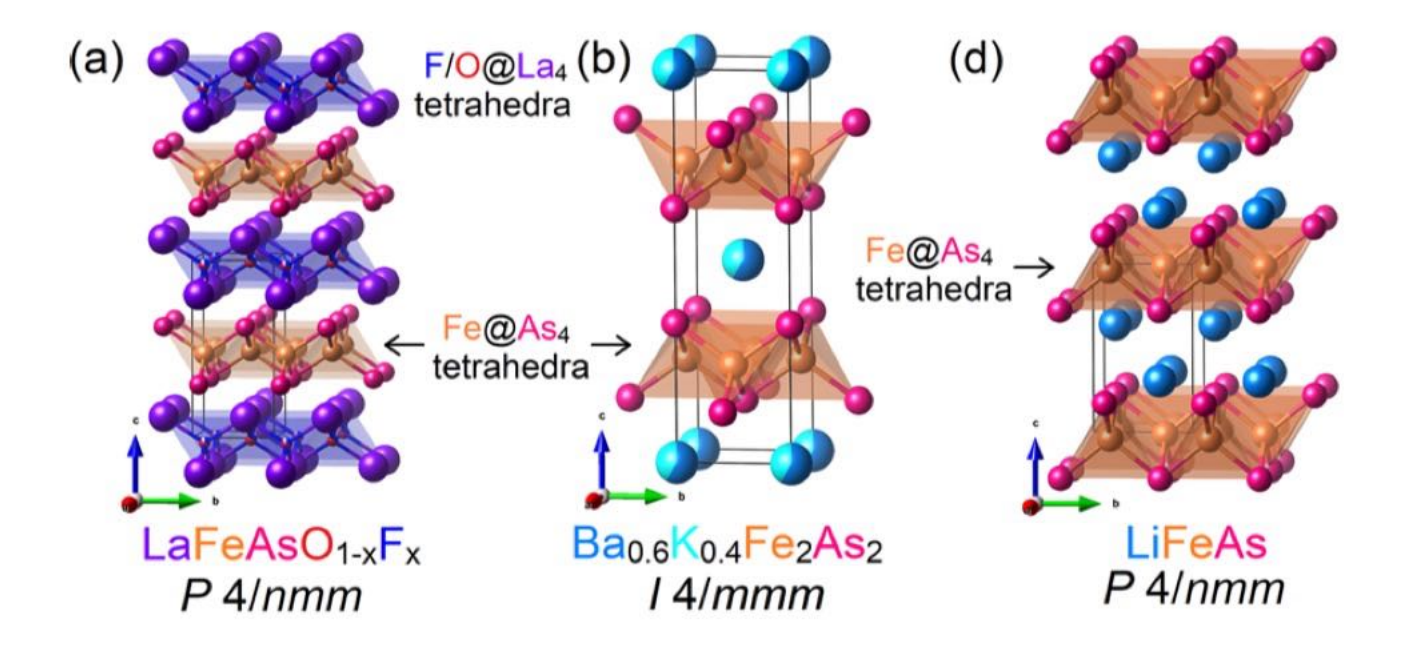


- 最早发现的超导性的有机物是四甲基四硒富瓦烯的 PF₆ 盐,在 1.1 Gpa 下转变温度为 0.9 K
- 另外科学家发现石墨插层化合物以及富勒烯金属化合物存在超导性,如 Cs₃C₆₀,转变温度为 38 K

■ 2001 年,科学家发现了 MgB₂——转变温度 39 K 的物质



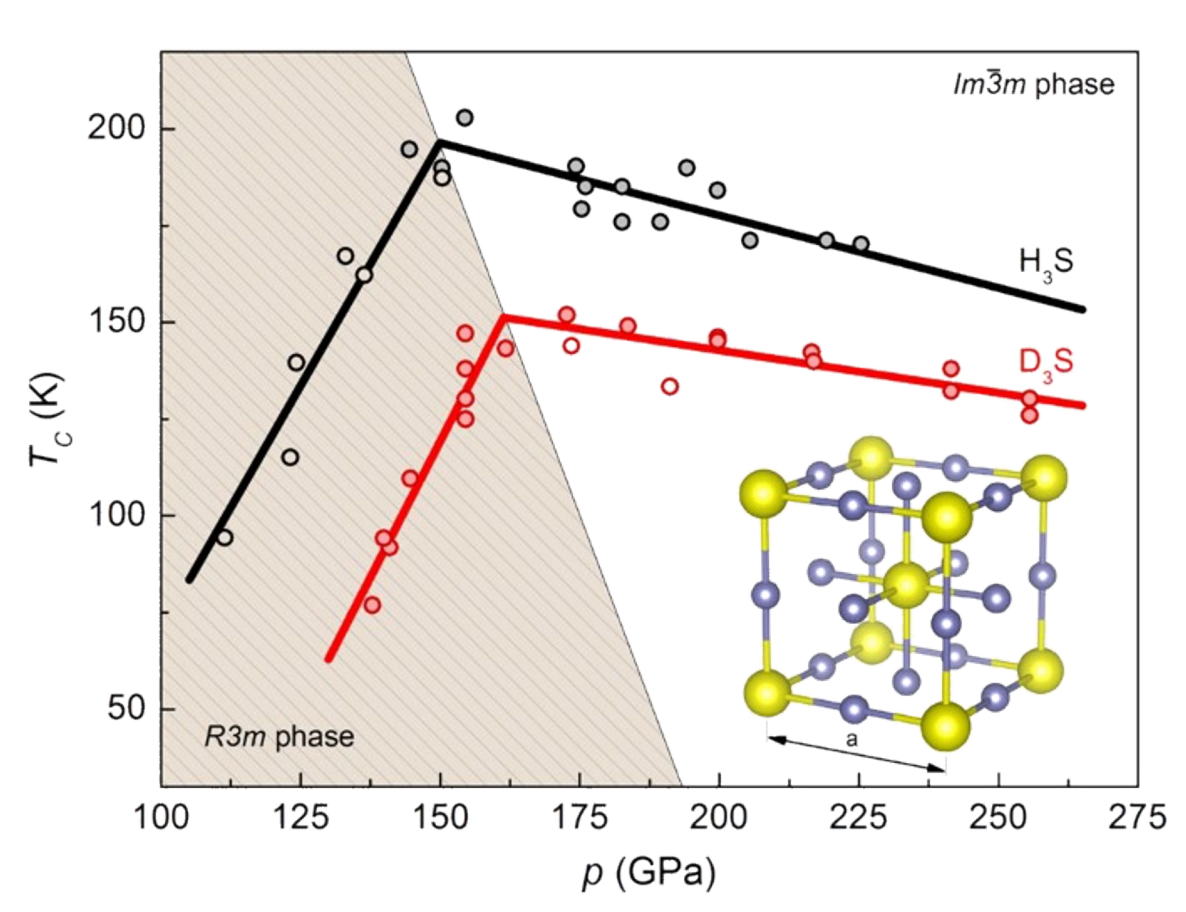
■ 2008 年开始科学家发现了 Fe 基超导体—— LaFeAsO_{0.9}F_{0.1} 在 26 K以下 具有超导性,Fe 基超导体结晶为包含共边 FeAs₄ 或 FeSe₄ 四面体层作 为电荷载体层的结构





K)

■ 近几年发现,一些氢化物在高压下具有较高的转变温度(甚至超过 273

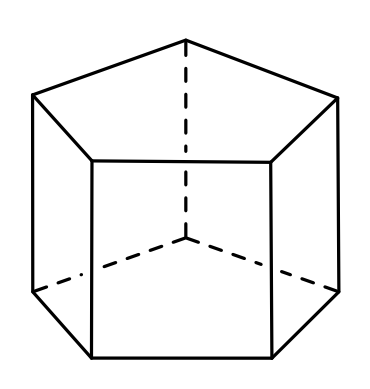


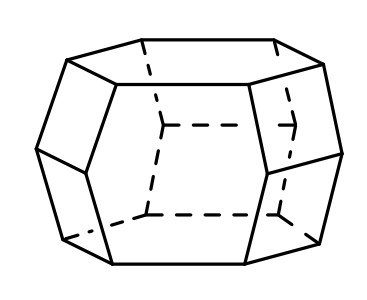


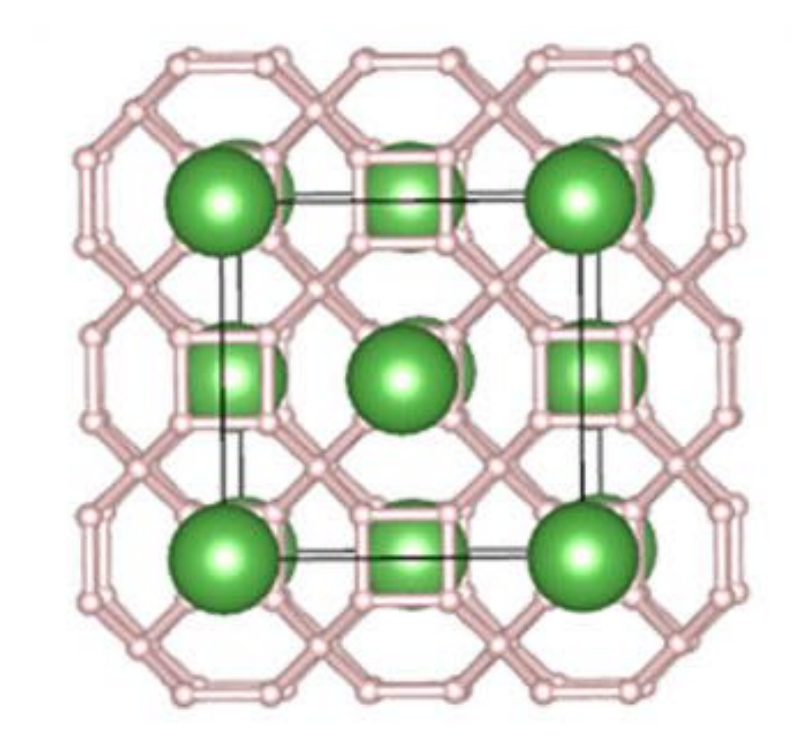
- LaH₁₀ 具有有趣的氢笼结构,类似于沸石中的多面体笼。笼是根据组成 多面体的 n 元环描述的,下面两个笼可以描述为 4⁵.5² 和 4⁶.6².6³
- 请给出 LaH₁₀ 氢笼的描述

46.612

■ 计数: 4*6/3/2+6*12/3/4





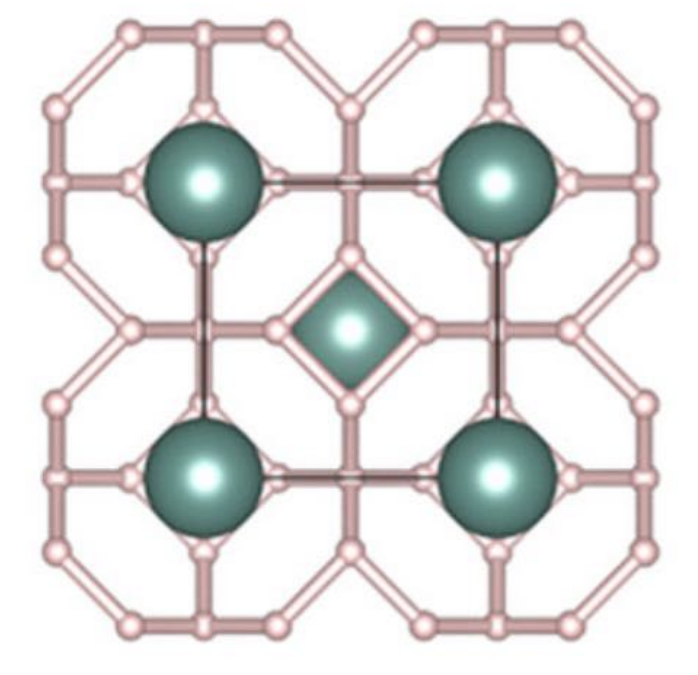


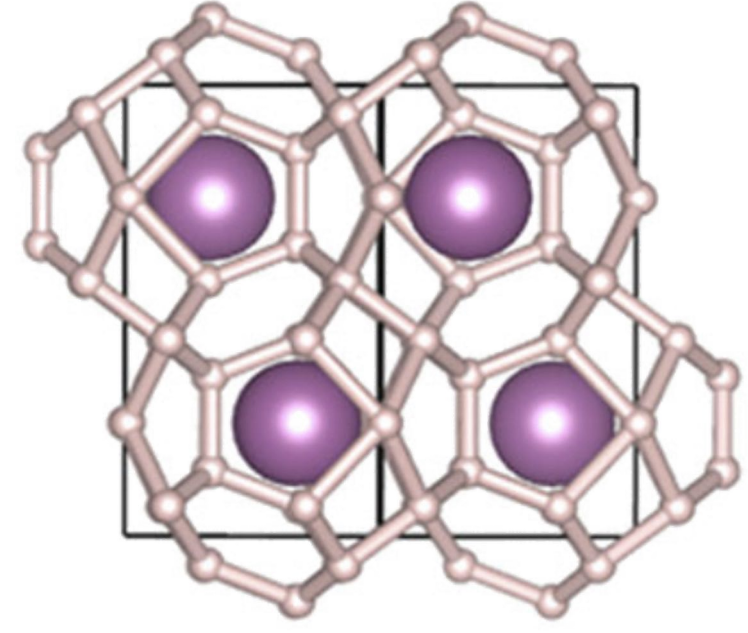


■ Y和 Sc 也能形成类似的氢化物,它们包含的的笼分别为 4⁶.6⁸ 以及 4⁶.5⁶.6⁶,请给出氢化物的化学式

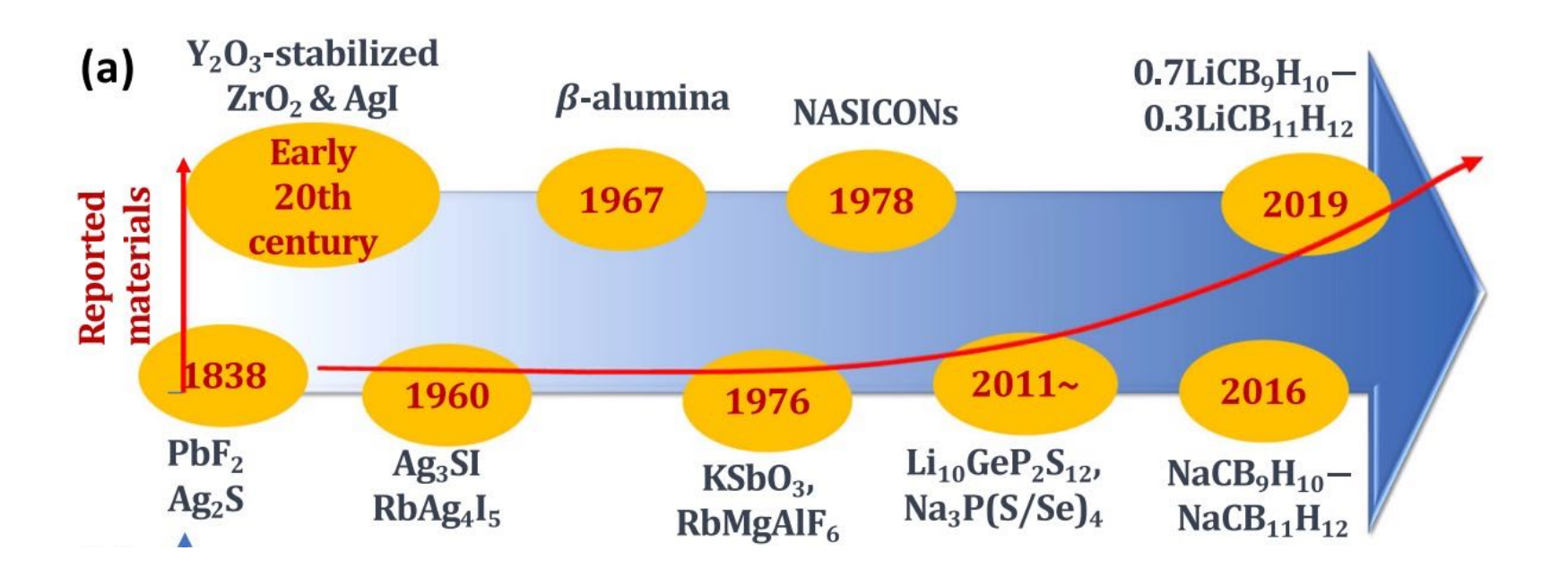
 YH_6 , ScH_9

■ (24+48)/3/4。注意 4⁶.5⁶.6⁶ 中存在四配位 H(不是正常多面体)



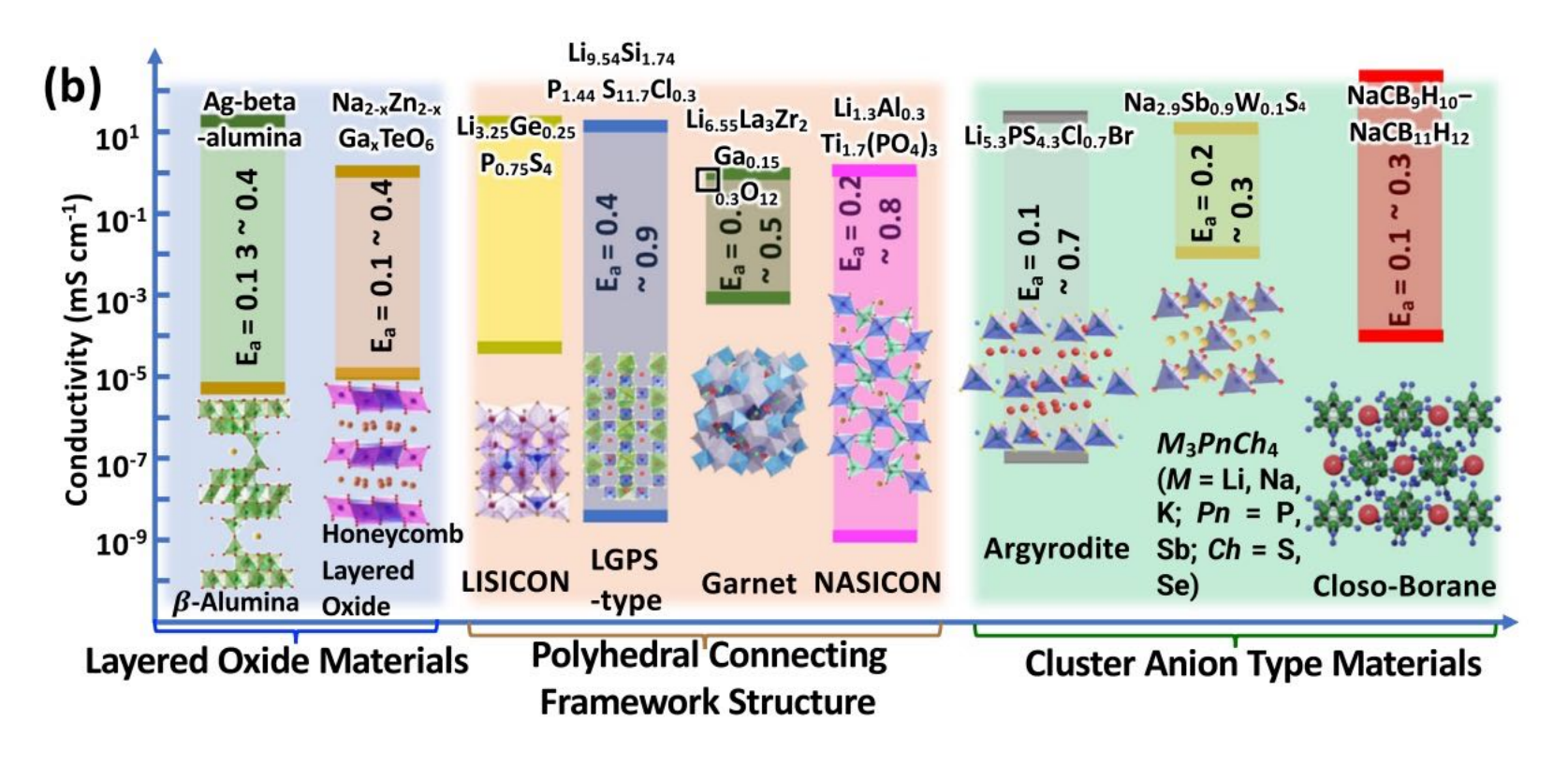


■ 全固态电池 (ASSB) 是锂离子电池的有力替代品,因为其能提供更高的能量密度、电池安全性、放电/充电倍率

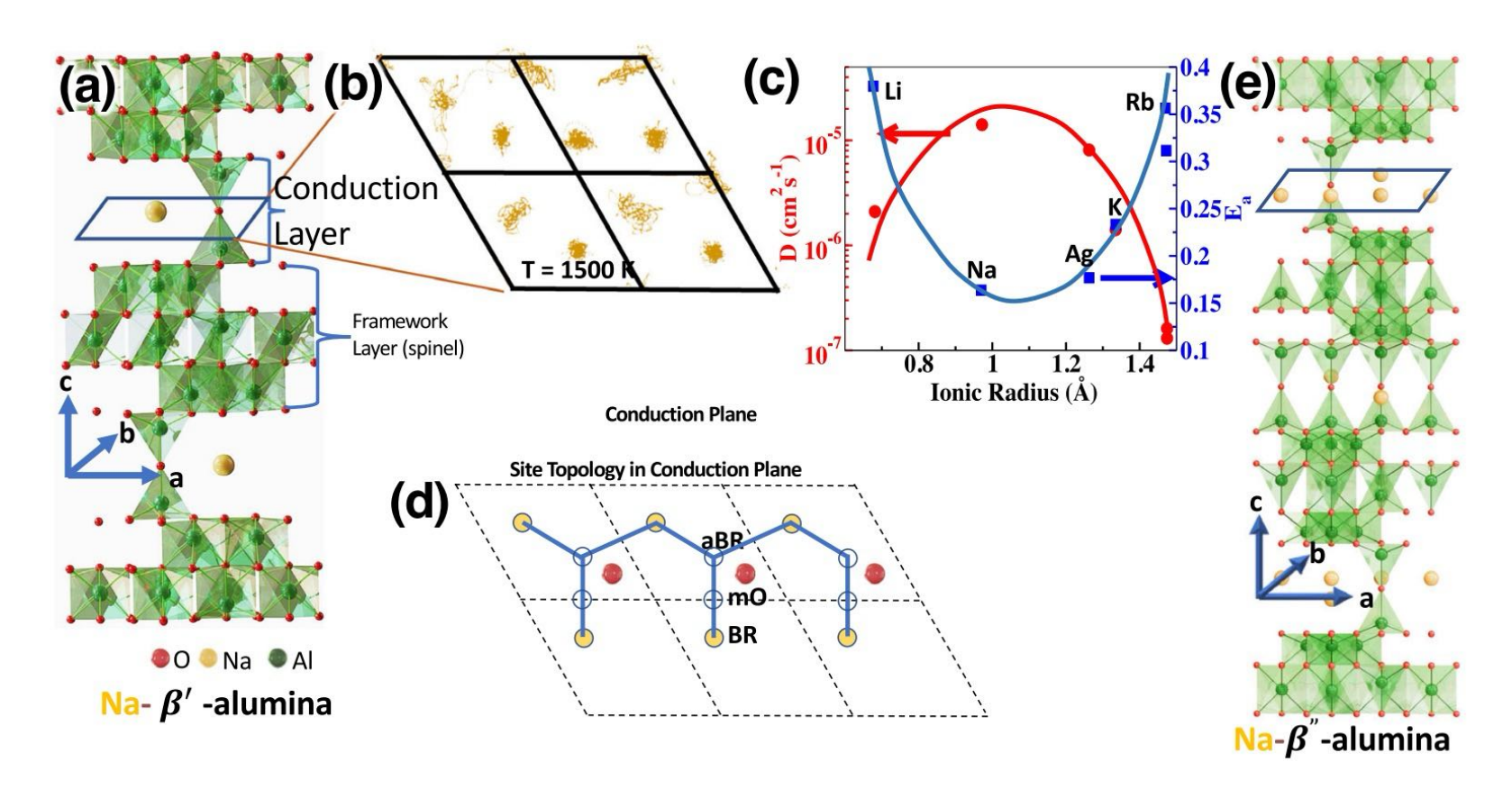




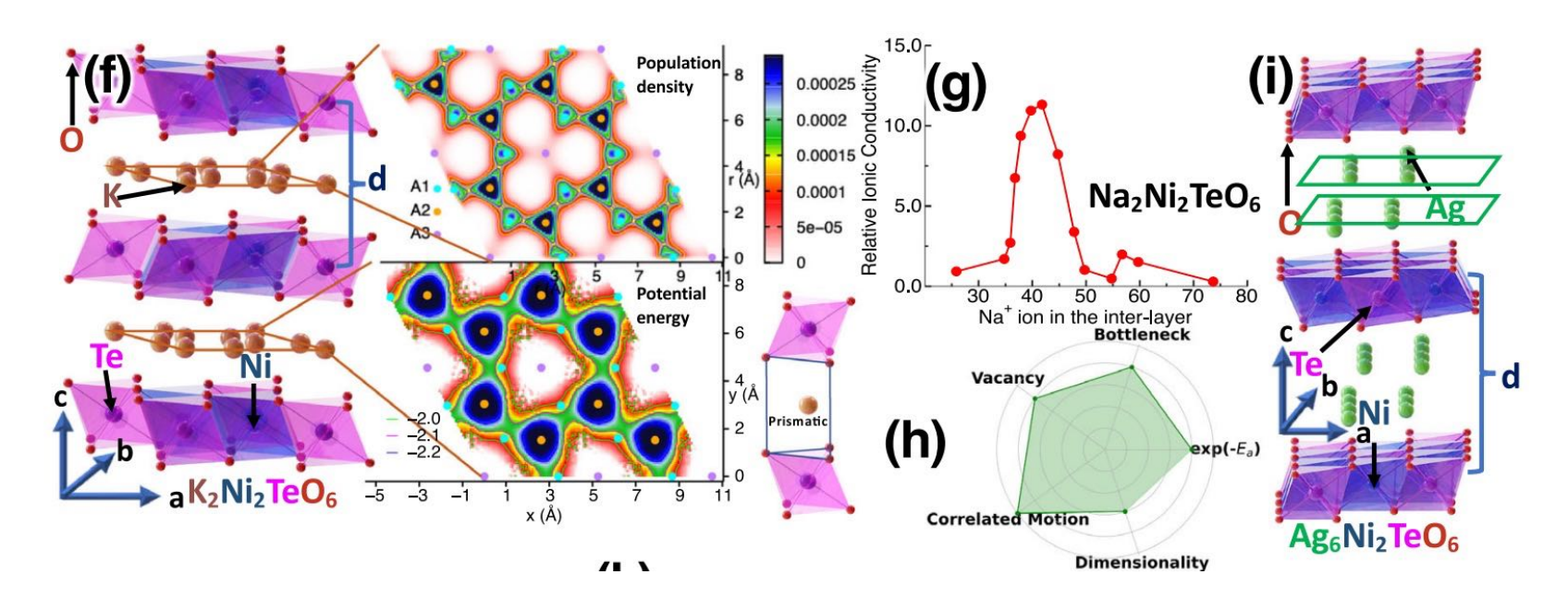
■ 全固态电池 (ASSB) 是锂离子电池的有力替代品,因为其能提供更高的能量密度、电池安全性、放电/充电倍率



■ β-氧化铝层状晶体结构使得离子可以在通道中移动

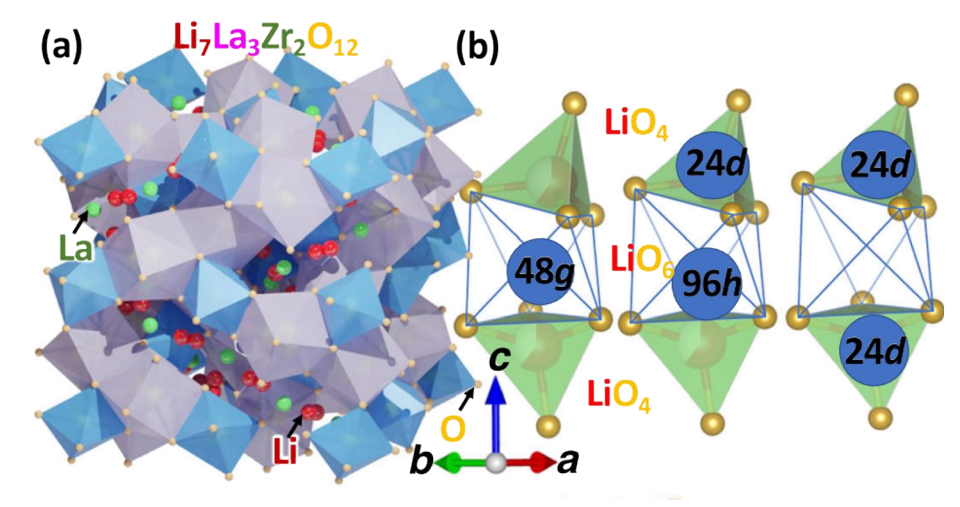


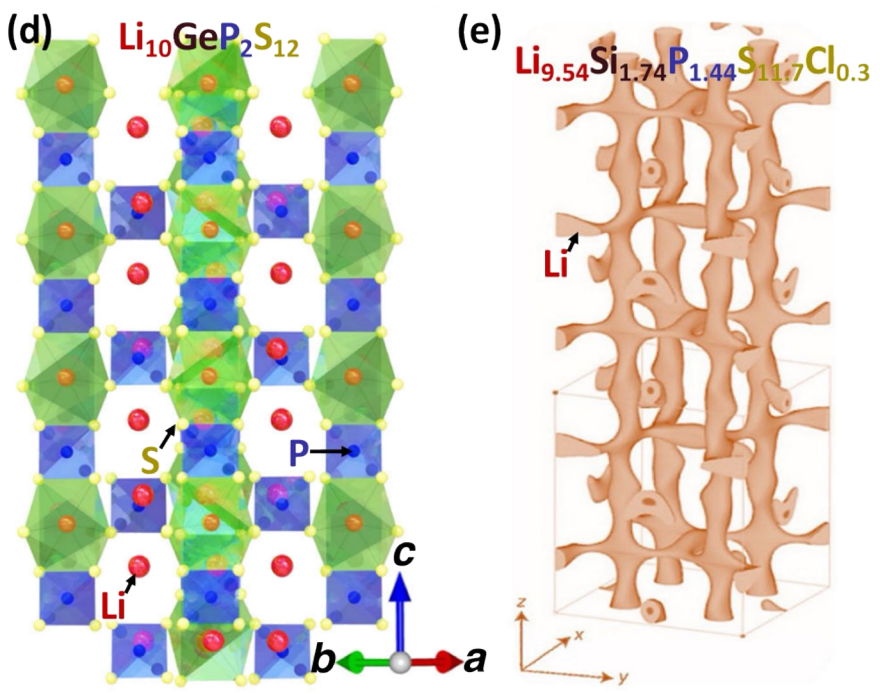
- 类似的,具有蜂巢层状的材料: K_2 NiTeO₆
- 缺点:室温下电导率偏低,电导是各向异性的,层状结构不稳定
- 双层蜂窝状结构可调控层间距,现在仍在研究

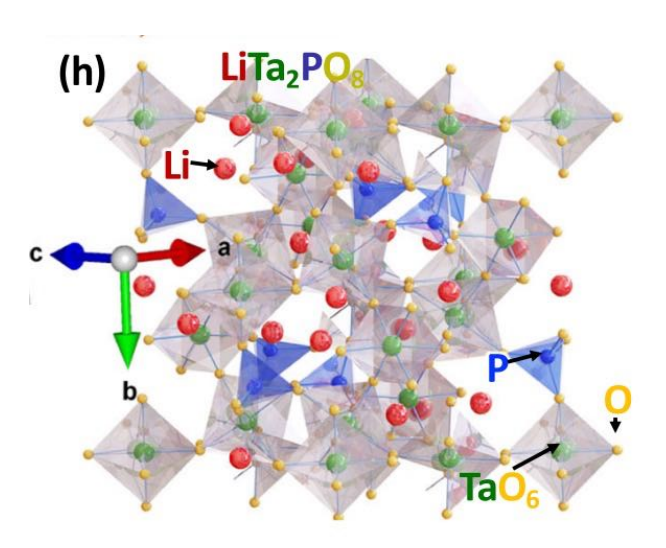




■ 多面体连接骨架:

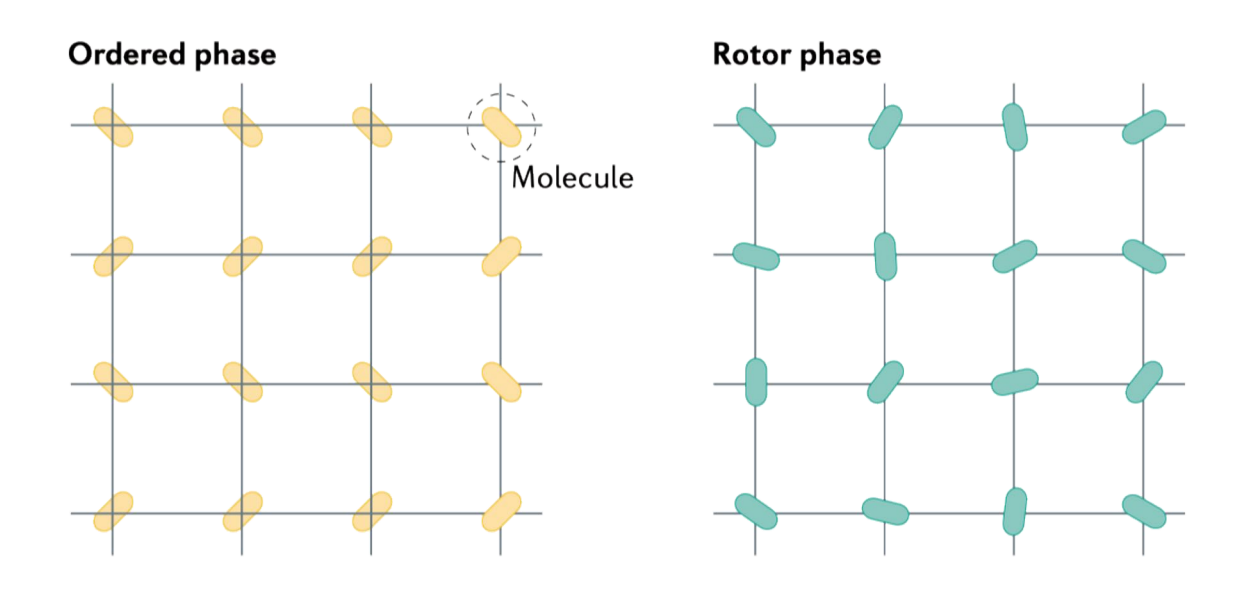




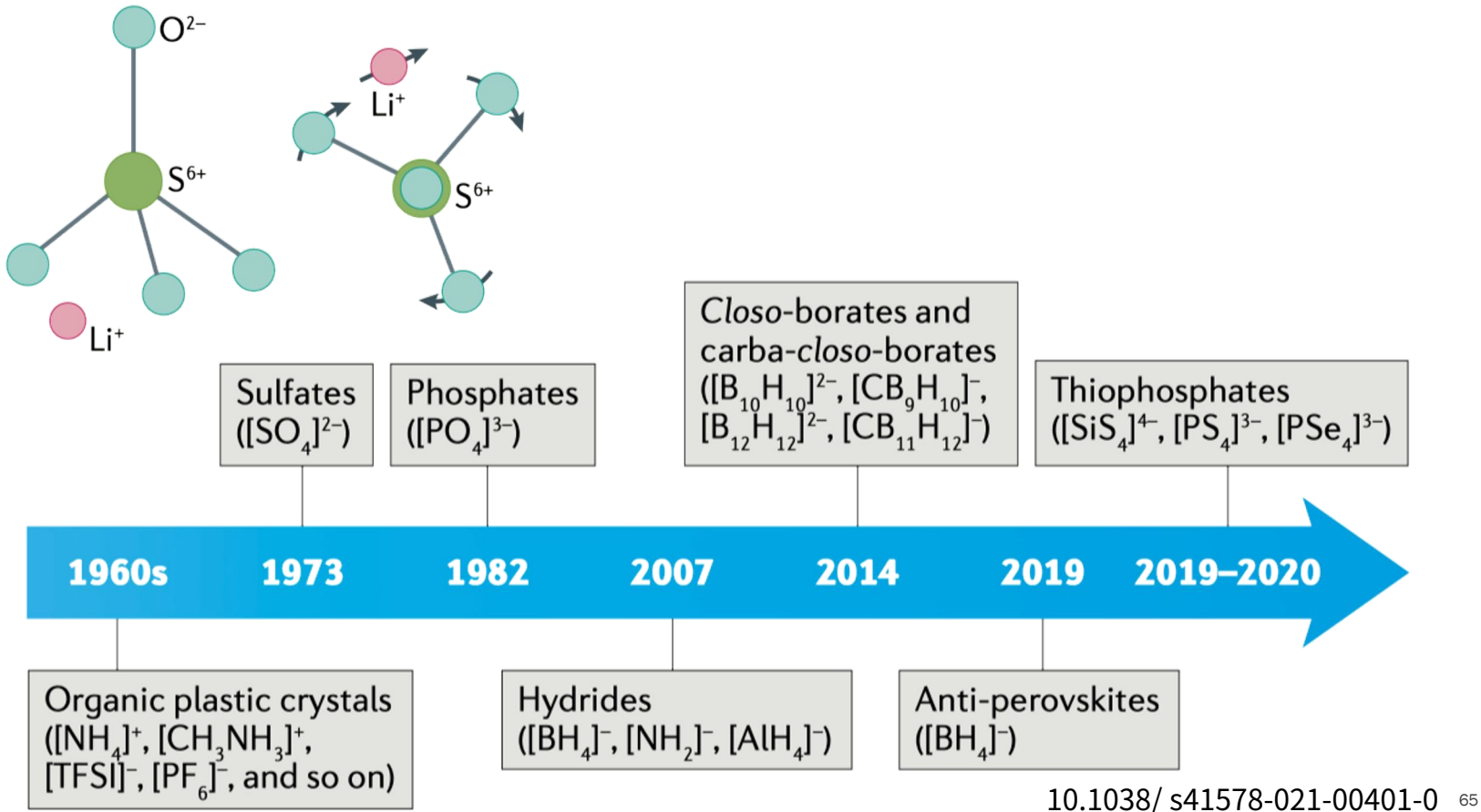




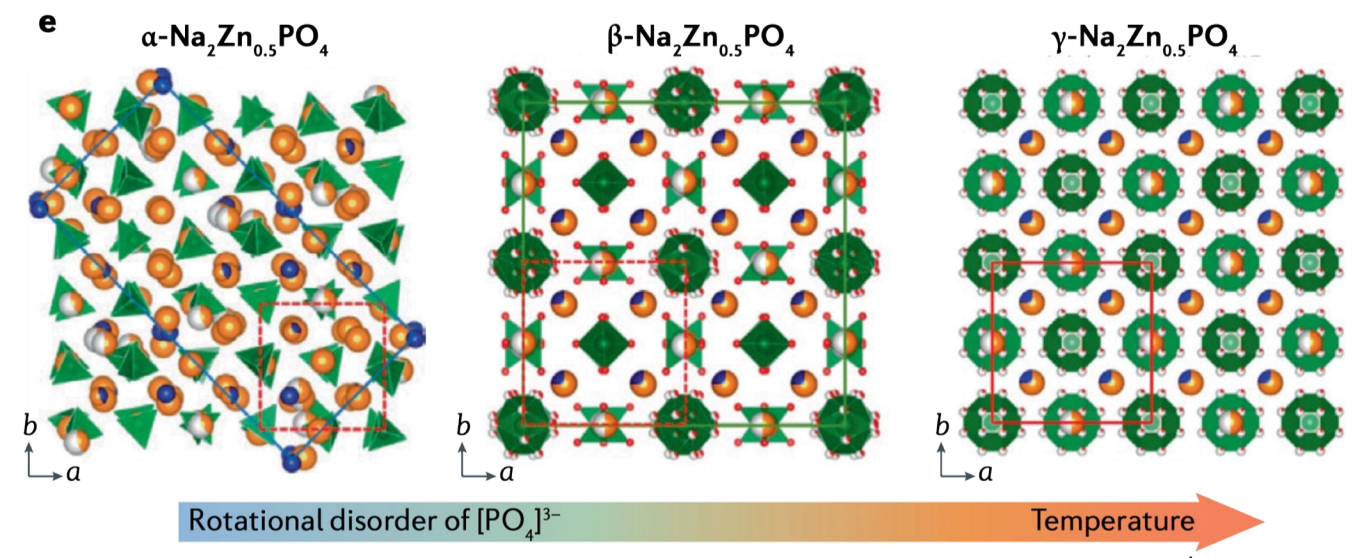
- 塑性晶体代表有序晶体与液相/熔体之间的可能中间阶段,表现出长程 有序但短程无序的特征
- 塑性相通常具有高度对称结构,例如 fcc 和 bcc,而其中的分子或离子 呈球形,由于分子间力较弱,分子可以在原位置上旋转



旋转相中不迁移的离子通常具有四面体或八面体的结构

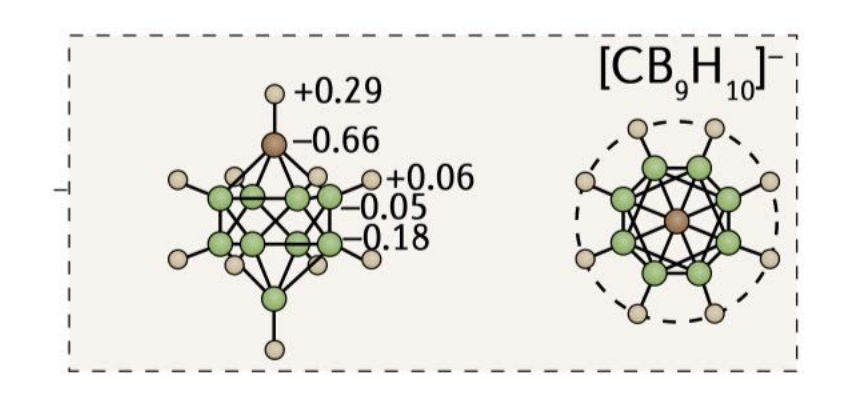


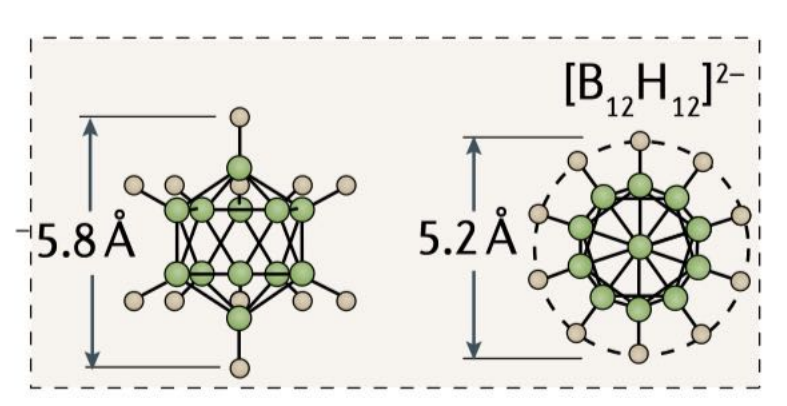
- 例如 Li₂SO₄ 在超过 848 K后,晶体从单斜变为立方相,电导率增加 4 个数量级
- 而在接近熔点 1133 K 的温度下,其电导率和熔融态相同 (1-3 S cm⁻¹)
- 更有趣的是,熔融的Li₂SO₄ 速冷至室温时,仍能保持较高的电导率
- Na₃PO₄ 也存在这种高温下电导率增加的现象



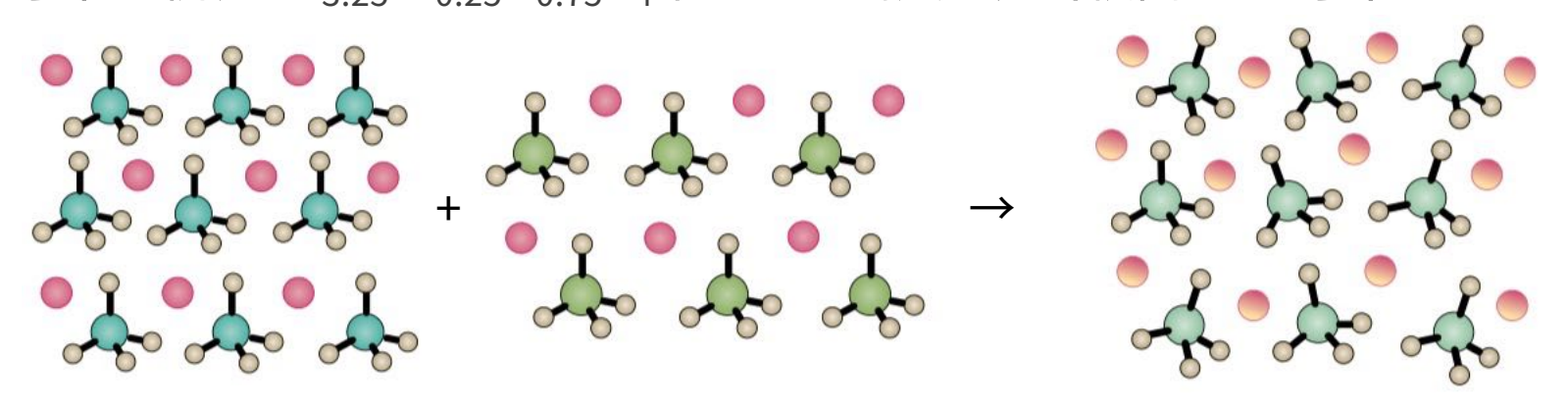
- 硼氢化锂作为还原剂/储氢材料在 1953 年合成以来就得到了广泛研究
- 但直到 2007 年科学家才发现,其在超过 390 K 后为导体 (10⁻³ S cm⁻¹)
- 通过什么技术可证明高温下 [BH₄¯] 取向变得更加无序?
- 向 LiBH₄ 中掺入 LiX 或 LiNH₂ 可降低转变温度,或增加电导率
- Li₃(BH₄)(NH₂)₂ 在 313 K下电导率为 6.4×10⁻³ S cm⁻¹

- 硼氢化物的缺点是对空气、水敏感,而闭式的十二硼烷酸盐具有较好的化学稳定性,例如 $Na_2B_{12}H_{12}$ 在 545 K 下变为完全无序的体心立方结构,电导率为 $0.1~S~cm^{-1}$
- 使用碳硼烷会获得更低的转变温度,例如 NaCB₉H₁₀ 在 323 K 下具有
 0.03 S cm⁻¹ 的电导率
- 碳硼烷盐的相变也具有滞后的特征:且一旦加热到 310 K以上,降低温度后也能保持高导电率





- 传统的反钙钛矿 Na₃OX 具有较低的电导率,而 Na₃OBH₄ 电导率要高 4 个数量级 (4.4 mS cm⁻¹)
- 此外还有 $[PSe_4]^{3-}$ 、 $[PS_4]^{3-}$ 等阴离子对应的盐在研究
- 使用多种不同的阴离子形成无序的结构有助于降低转变温度,增加电 导率。例如 Li_{3.25}Si_{0.25}P_{0.75}S₄ 在 297 K 就表现出较高的电导率





- 现在科学家正在研究 $[PSe_4]^{3-}$ 、 $[PS_4]^{3-}$ 等阴离子形成的离子导体
- 使用多种不同的阴离子形成无序的结构有助于降低转变温度,增加电 导率。例如 $Li_{3,25}Si_{0,25}P_{0,75}S_4$ 在 297 K 就表现出较高的电导率,并被用 于固态电池的试验生产上

- 团簇阴离子导体: 缺点包括对环境条件高度敏感,难以进行结构解析
- 阴离子旋转是设计高导电材料的关键特征